

پژوهشگاهی چینه نگاری و رسوب شناسی

سال بیست و هشتم، شماره پیاپی ۴۶، شماره اول، بهار ۱۳۹۱

تاریخ دریافت: ۹۰/۹/۱ تاریخ پذیرش: ۹۱/۲/۲۳

صفحه ۱۱۳-۱۴۳

## بیوستراتیگرافی سازند ناییند در منطقه معادن زغالسنگ پروده طبس بر مبنای ماکروفسیل‌های گیاهی

\*فاطمه واعظ جوادی، استادیار گروه زمین شناسی دانشگاه تهران

چکیده

عضو قدیر از بالایی ترین بخش سازند ناییند در منطقه معادن پروده دارای گسترش و رختنمون بسیار خوبی می‌باشد. منطقه پروده در جنوب غرب شهر طبس، شرق ایران مرکزی قرار دارد. عضو قدیر حاوی ماکروفسیل‌های گیاهی فراوان و با حفظ شدگی خوبی است. تعداد ۲۴ گونه از ۱۴ جنس متعلق به راسته‌های اکوئی ستال‌ها، اسموندال‌ها، فیلیکال‌ها، پلتاسپرمال‌ها، سیکادال‌ها، بتیتال‌ها و کونی فرال‌ها مورد شناسایی قرار گرفتند. بر اساس انتشار چینه‌شناسی گونه‌های *Equisetites arenaceus*, *Scytophyllum persicum*, *Pterophyllum bavieri*, *Pterophyllum aequale* و *Nilssoniopteris musafolia* سن رتین برای این مجموعه خاطر نشان می‌گردد. همچنین، بر پایه پراکنش فلور رتین در ستون چینه‌شناسی، یک بیوزون تجمعی (Assemblage zone I) تشخیص داده شد. این مجموعه گیاهان فسیل موید آب و هوای مرطوب نیمه گرم‌سیری تا گرم‌سیری برای زمان رتین در منطقه پروده طبس هستند.

واژه‌های کلیدی: بیوستراتیگرافی، فلور رتین، سازند ناییند، عضو قدیر، طبس

## مقدمه

منطقه طبس با مساحت تقریبی ۵۵۴۶۰ کیلومتر مربع در شمال شرق استان یزد و در بین استان‌های کرمان و طبس قرار دارد، می‌باشد. موقعیت جغرافیایی منطقه مورد مطالعه عبارتند از:  $58^{\circ} 56'$  طول جغرافیایی شرقی و  $33^{\circ} 33'$  عرض جغرافیایی شمالی. معادن زغال‌سنگ پروده در ۷۵ کیلومتری شهر طبس و ۵۰ کیلومتری غرب روستای پروده واقع است (شکل شماره ۱). برش مورد مطالعه در میان آنتی کلینال معدن اصلی پروده انتخاب گردید. این عضو در بردارنده ۲۰ لایه زغال‌دار می‌باشد که از میان آنها ۴ تا ۵ لایه وسیعًا معدنکاری می‌شوند (Bragin et al. 1981). عضو قدری در این مطالعه اندازه گیری گردید و نمونه‌های ماکروفیل گیاهی آن که عمدها در بخش زیرین آن قرار داشته و از طریق تونل قابل دسترسی است، نمونه برداری شد.

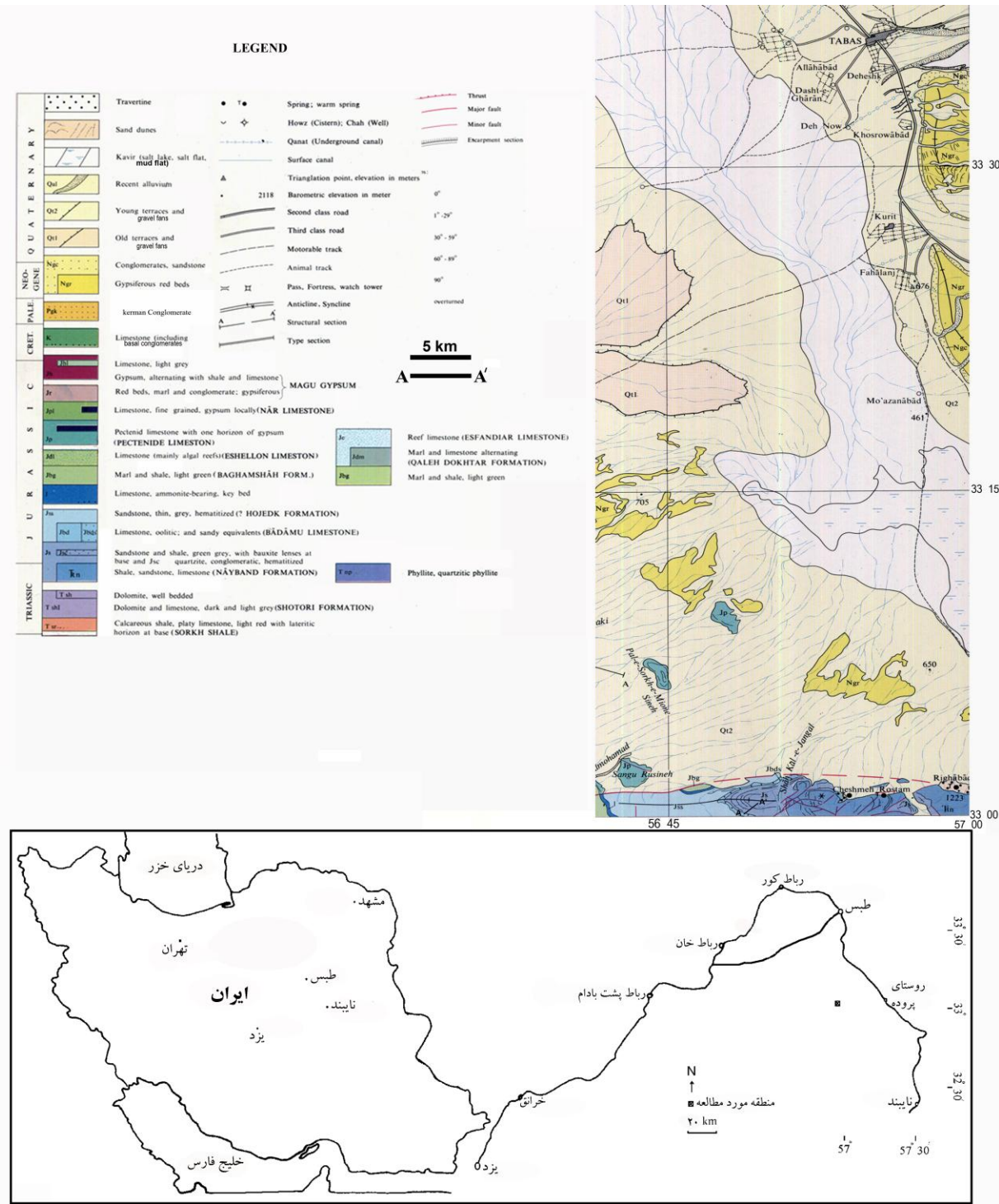
## چینه‌شناسی و بیوستراتیگرافی سازند ناییند در منطقه پروده

چینه‌های تریاس بالایی منطقه طبس توسط Stöcklin et al. (1965) سازند ناییند نام‌گذاری گردید. سازند ناییند یک رخساره بسیار شاخص از تریاس بالایی شرق ایران مرکزی بوده و معادل قاعده گروه شمشک در البرز می‌باشد (Douglas 1929; Stöcklin 1961). این سازند از یک توالی ضخیم آواری با تداخل‌هایی از سنگ آهک و ساختمان‌های ریفی تشکیل شده است. بر پایه اظهارات Brönnimann et al. (1971) سازند ناییند دارای ضخامتی معادل ۲۱۹۵ متر در مقطع تیپ می‌باشد و از پایین به بالا به ۴ عضو به شرح زیر تقسیم می‌گردد: ۱- ماسه سنگ و شیل زیرین (عضو گلکان به ضخامت ۹۱۵ متر)، ۲- شیل و سنگ آهک میانی (عضو بیدستان به ضخامت ۴۵۰ متر)، ۳- شیل و ماسه سنگ بالایی (عضو حوض شیخ به ضخامت ۳۶۵ متر) و ۴- رسوباتی با

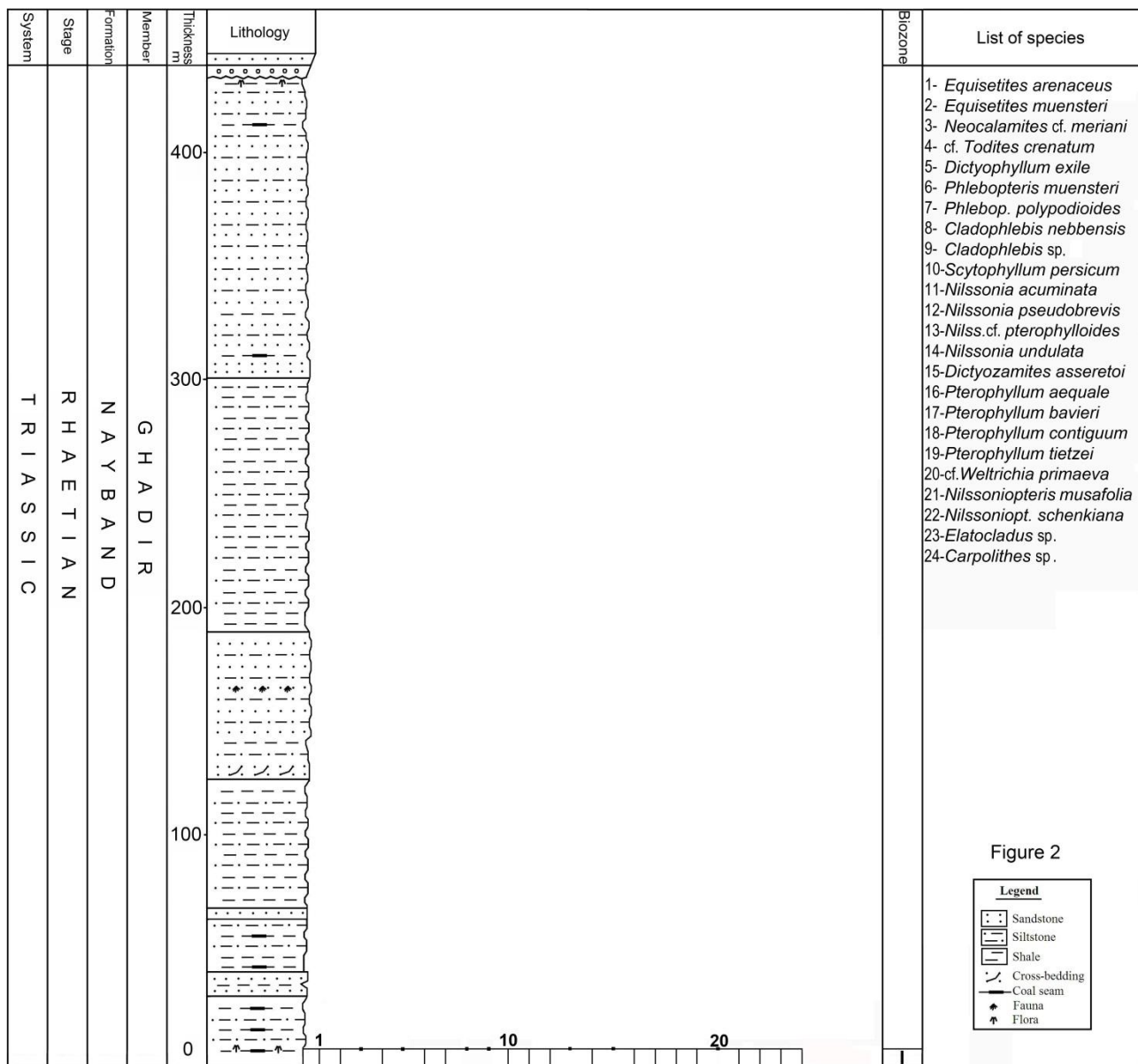
خرسان جنوبی واقع می‌باشد. عضو قدری از بالایی‌ترین بخش سازند ناییند دارای بروزنزدگی بسیار خوبی در منطقه معادن زغال‌سنگ پروده که در جنوب غرب شهر تناب شیل، ماسه سنگ و سنگ آهک با فراوانی خردوهای اسفنج و مرجان (عضو شیخ خان به ضخامت ۴۶۵ متر) Kluyver et al. (۱۹۸۳) علاوه بر چهار عضو رسمی فوق، سه عضو غیر رسمی حاوی رسوبات آواری دارای لایه‌های زغالی با ضخامت متغیر ۵۰۰ تا ۹۰۰ متر و با سن رتین را بنا نهادند. نهایتاً، آقانباتی (۱۳۸۹، ص ۲۶۱) سازند ناییند را با ۵ عضو گلکان، بیدستان، حوض شیخ، حوض خان و قدری به ترتیب از پایین تا بالای سازند معرفی نمود. یک برش در منطقه معادن پروده مورد اندازه‌گیری قرار گرفت و ستون چینه‌شناسی آن ترسیم شد. ضخامت حقیقی برش مذکور ۴۳۵ متر می‌باشد و بر اساس انتشار چینه‌شناسی ماکروفیل‌های گیاهی یک بیوزون تجمعی (Biozone I) در قاعده برش مورد شناسایی قرار گرفت (شکل شماره ۲). این بیوزون Equisetites arenaceus, Scytophyllum persicum, Pterophyllum bavieri شده است. این مجموعه دارای سن تریاس پسین (رتین) می‌باشد. Repin (۱۹۸۲) نرمتنان سازند ناییند را مورد مطالعه قرارداد و Vassiliev (۱۹۸۴) در گزارش داخلی پاره‌ای از ماکروفیل‌های گیاهی آن را معرفی نمود لیکن گزارش ایشان فاقد هر گونه توصیف، ستون چینه‌شناسی و بیوستراتیگرافی است.

## رده بندی ماکروفیل‌های گیاهی

تعداد ۲۴ گونه ماکروفیل گیاهی متعلق به ۱۴ جنس از عضو قدری سازند ناییند مورد شناسایی قرار گرفت. این جنس‌ها از راسته‌های مختلف اکوئی ستال‌ها، اُسمنوندال‌ها، فیلیکوفیت‌ها، پلاتاسپرمال‌ها، بتیتال‌ها، سیکادال‌ها و کونی فرال‌ها می‌باشند.



شکل شماره ۱- نقشه زمین شناسی (برگرفته از نقشه شماره ۱۷: زمین شناسی طبس، آقاباتی و حقی پور ۱۹۷۸)، موقعیت جغرافیایی منطقه و برش مورد مطالعه.



شکل شماره ۲- ستون چینه شناسی و بیوستراتیگرافی عضو قدیر منطقه معادن زغال‌سنگ پروده.

Type species: *Equisetites muensteri* Sternberg 1833  
*Equisetites arenaceus* (Jaeger 1827) Schenk 1864 Plate I, Figs. 2  
 1976 *Equisetites arenaceus*: Sadovnikov; p. 74, figs. 9, 10.  
 1984 *Equisetites arenaceus*: Vassiliev; pl. 2, fig. 1.

که در زیر رده بندی تاکسون‌ها، توصیف آنها و سینونیم‌های گزارش شده از ایران و جهان ارائه می‌شود.  
 Division Sphenophyta  
 Class Sphenopsida  
 Order Equisetales  
 Family Equisetaceae  
 Genus *Equisetites* Sternberg 1833

1931 *Equisetites muensteri*: Harris; p. 2, pl. 2, figs. 1-15; pl. 3, fig. 15; text-fig. 2.

1958 *Equisetites muensteri*: Kraüsel; p. 79, pl. 5; pl. 6, figs. 32-34; pl. 7, fig. 37.

1967 *Equisetites muensteri*: Barnard; pp. 543-546, pl. 46, fig. 5; text-fig. 5; text-fig. 1A.

**توصیف:** این نمونه یک ساقه برافراشته و مستقیم به طول ۱۳ سانتیمتر و پهنای ۱۵-۱۸ میلیمتر است که به صورت اثر حفظ شده است. ساقه سه بند و بین بند را با طول ۹-۱۰ ۵/۵ سانتیمتر نشان می‌دهد. غلاف برگی حدود ۲/۵ میلیمتر درازا داشته و برگ‌ها در کل مثلثی شکل با نوک حاده گُند (obtuse) هستند. تعداد شش برگ در هر سمت (مجموعاً ۱۲ عدد) ساقه وجود دارد. بین بندها در بردارنده شش برجستگی طولی کم و بیش درشت و مشخص می‌باشد.

Genus *Neocalamites* Halle 1908 emend. Harris 1961

Type species: *Neocalamites hoerensis* (Schimper 1869) Halle 1908

*Neocalamites cf. meriani* (Brongniart 1828) Halle 1908

Plate I, Fig. 4; Fig. 4: 7

1828 *Equisetum meriani* Brongniart; p. 115, pl. 12, fig. 13.

1908 *Neocalamites meriani* (Brongniart) Halle; p. 6.

1977 *Neocalamites meriani*: Corsin & Stampfli; p. 518, pl. 10, fig. 1.

1997 *Neocalamites meriani*: Schweitzer et al.; pp. 146-147, pl. 10, figs. 1-3; text-fig. 19.

**توصیف:** تنها یک نمونه ساقه به طول ۳۲ میلیمتر با ۳-۴ برجستگی طولی یافت شد که دارای یک بین بند به درازای ۱۹ میلیمتر و پهنای ۲-۲/۵ میلیمتر است. برگ‌ها در حلقه‌ای (احتمالاً شش عدد) در محل بند آرایش یافته‌اند. برگ‌ها خطی، با کناره‌های موازی با بیش از ۲

1997 *Equisetites arenaceus*: Schweitzer & Kirchner; p. 120, pl. 2; text-fig. 3.

1998 *Equisetites arenaceus*: Kelber & van Konijnenburg-van Cittert; p. 21, figs. 2-5.

2002 *Equisetites arenaceus*: Vaez-Javadi & Ghavidel-Syooki; p. 58, pl. 1, fig. 1.

**توصیف:** ساقه به طول ۱۷/۸ سانتیمتر و پهنای ۷ (internodes) و بین بند (nodes) ۹ میلیمتر (nodes) و بین بند (internodes) ۱/۷-۵/۷ سانتیمتر را نشان می‌دهد. فاصله بین بندها ۲-۲/۵ میلیمتر است. شیارها و برجستگی‌هایی بر روی ساقه به ویژه زیر بندها مشاهده می‌شوند که نشان‌دهنده دستیجات آوندی هستند. فواصل این برجستگی‌ها (ribs) ۴-۵ در سانتیمتر (یعنی تعداد برجستگی‌ها ۴-۵ در سانتیمتر) است.

*Equisetites muensteri* Sternberg 1833

Plate I, Figs. 1, 3; Plate II, fig. 2; Fig. 3: 1, 2, 6, 10

1833 *Equisetites münsteri* Sternberg; p. 43, pl. 16, figs. 1-5.

1851 *Equisetites münsteri*: Ettinghausen; p. 90, pl. 9, figs. 1-4.

1865 *Equisetites münsteri*: Schenk; p. 14, pl. 2, figs. 4, 5, 8, 9, 9a; pl. 3, figs. 3-8, 10-13.

1869 *Equisetites münsteri*: Schimper; p. 269, pl. 8, figs. 3a, 3b, 4.

1873 *Equisetites münsteri*: Saporta; p. 232, pl. 27, figs. 1-4; pl. 28, fig. 1; pl. 29, figs. 1-9.

1878 *Equisetites münsteri*: Nathorst; p. 40, pl. 5, figs. 1-5; pl. 7, figs. 1-4.

1891 *Equisetites münsteri*: Raciborski; p. 295, pl. 1, figs. 1-4.

1892 *Equisetites münsteri*: Bartholin; p. 13, pl. 5, figs. 1-6.

1896 *Equisetites münsteri*: Hartz; p. 233, pl. 6, figs. 1-4.

1902 *Equisetites münsteri*: Möller; p. 58, pl. 6, figs. 13-15.

1904 *Equisetites muensteri*: Seward; p. 12, pl. 1, fig. 4.

1908 *Equisetites muensteri*: Halle; p. 18, pl. 4, figs. 27, 28.

1926 *Equisetites muensteri*: Harris; p. 52, pl. 2, figs. 1, 6, 7.

- 1966 *Dictyophyllum exile*: Genkina; p. 62, pl. 10, fig. 7.
- 1970 *Dictyophyllum exile*: Boureau in Andrews et al.; p. 347.
- 1977 *Dictyophyllum exile*: Fakhr; p. 72, pl. 20, figs. 2-5; fig. 6E.
- 1986 *Dictyophyllum exile*: Chen; p. 447, pl. 3, figs. 1-3, 6-9.
- 2002 *Dictyophyllum exile*: Vaez-Javadi & Ghavidel-Syooki; pp. 60, 64, pl. 3, fig. 2.

**توصیف:** این نمونه یک قطعه پن نازا به درازای تقریبی ۲۳ میلیمتر و پهنای ۸ میلیمتر است. راشیس پن آشکار و به پهنای ۰/۵ میلیمتر می‌باشد. پینول‌ها به تعداد ۸ عدد و با زاویه ۶۰ درجه به راشیس (rachis) پن متصل هستند. آنها مثلثی شکل، نیمه متقابل و به درازای ۳-۴ میلیمتر می‌باشند. بخش آزاد پینول حدود یک سوم طول آن است و بقیه آن در قاعده با پینول‌های مجاور، تشکیل یک پهنه کیپارچه را می‌دهند. رگبرگ میانی کاملاً آشکار بوده و رگبرگ‌های جانبی، یک شبکه چند ضلعی را تشکیل می‌دهند.

#### Family Matoniaceae

Genus *Phleopteris* Brongniart 1828

Type species: *Phleopteris polypodioides* Brongniart 1828

*Phleopteris muensteri* (Schenk 1867) Hirmer & Hoerhammer 1936

Plate II, 4; Plate V, 6b; Fig. 3: 12

1867 *Lacopteris muensteri* Schenk; p. 97, pl. 24, figs. 6-10; pl. 25, figs. 1, 2.

1936 *Phleopteris muensteri* (Schenk) Hirmer & Hoerhammer; p. 17; pl. 3; pl. 4, figs. 1-6; text-figs. 5, 2A, 2B.

1937 *Phleopteris muensteri*: Harris, p. 20.

1950 *Lacopteris* cf. *muensteri*: Boureau et al.; p. 222, pl. 1, fig. 3.

1977 *Phleopteris* cf. *muensteri*: Fakhr; p. 66, pl. 15, figs. 3, 4; text-figs. 5 D-F.

1990 *Phleopteris muensteri*: Givulescu & Czier; p. 11.

سانتیمتر طول (طول نهایی آنها مشخص نیست) و ۱-۱/۵ میلیمتر پهنا با یک رگبرگ در میانه برگ می‌باشد.

#### Division Filicophyta

##### Order Osmundales

Genus *Todites* Seward 1900

Type species: *Todites williamsonii* (Brongniart 1828) Seward 1900

cf. *Todites crenatum* Barnard 1965

Plate I, 6; Plate IV, 4; Fig. 3: 3, 7

1965 *Todites crenatum* Barnard; pp. 1129-1131, pl. 95, figs. 1, 4; pl. 96, figs. 1, 2; text-figs. 1A-D.

1989 *Todites crenatus*: Zhou; p. 136, pl. 3, figs. 1-3; pl. 5, fig. 1; text-figs. 2, 3.

1997 *Todites crenatus*: Schweitzer et al.; p. 164, pl. 14, figs. 5-11; pl. 15, figs. 1-6; text-fig. 1A-D.

**توصیف:** این نمونه قطعه‌ای از یک پن نازا (sterile) است. پن ظریف، سرنیزه‌ای شکل و به درازای تقریبی ۴۵ میلیمتر است. پینول‌ها با زاویه ۵۰ درجه از ساقه پن خارج می‌شوند و به طول ۱۰-۱۵ میلیمتر و پهنای ۴-۵ میلیمتر، کناره‌های دالبردار (crenulate) تا موجدار با نوک گرد شده هستند. قاعده پینول‌ها معمولاً جمع شده است.

#### Order Filicales

##### Family Dipteridaceae

Genus *Dictyophyllum* Lindley & Hutton 1834

Type species: *Dictyophyllum rugosum* Lindley & Hutton 1834

*Dictyophyllum exile* (Brauns 1862) Nathorst 1878

Plate I, 5; Fig. 4: 3

1862 *Camptopteris exilis* Brauns; p. 54, pl. 13, fig. 11.

1878 *Dictyophyllum exile* (Brauns) Nathorst; p. 39, pl. 5, fig. 7.

1926 *Dictyophyllum exile*: Harris; p. 64, pl. 1, figs. 1, 2.

1931 *Dictyophyllum exile*: Harris; p. 80, pl. 18, figs. 15, 16.

1950 *Dictyophyllum exile*: Lundblad; p. 28, pl. 3, fig. 12.

1960 *Dictyophyllum exile*: Sikstel; p. 56, pl. 7, figs. 3, 5.

1978 *Phlebopteris polypodioides*: Schweitzer; p. 49, pl. 6, fig. 4; pl. 7, figs. 4-6; pl. 8, figs. 1-7; text-figs. 32, 34, 36, 37.

2009 *Phlebopteris polypodioides*: Schweitzer et al.; pp. 31-32, text-figs. 3 a, b.

**توصیف:** این نمونه یک پن زایا به درازای ۹۶ میلیمتر است. پینول‌ها خطی، به درازای ۶ سانتیمتر و پهنای ۶ میلیمتر بوده و به طور جانبی به راشیس با زاویه تقریباً قائم و با وضعیت متقابل متصل می‌گردند. رگبرگ میانی ضخیم بوده و تا انتهای پینول امتداد دارد. رگبرگ‌های جانبی ابتدا یکبار دو شاخه شده و کمانی را تشکیل می‌دهند. پهنای کمان‌ها معمولاً بیشتر از ارتفاع آنهاست. سپس ۲-۳ رگبرگ به موازات یکدیگر از این کمان‌ها خارج شده و تا کناره پینول امتداد می‌یابند. به این ترتیب، رگبرگ‌های جانبی یک شبکه تشکیل می‌دهند. تعداد ۷-۸ هاگدان از نوع سوری (sori) در سانتیمتر در هر طرف رگبرگ میانی مستقر می‌باشد.

Filicales incerte sedis

Genus *Cladophlebis* Brongniart 1849

Type species: *Cladophlebis albertsii* (Dunker) Brongniart 1849

*Cladophlebis nebbensis* (Brongniart) 1828

Nathorst 1876

Plate III, 3

1828 *Pecopteris nebbensis* Brongniart; p. 57.

1876 *Cladophlebis nebbensis* (Brongniart) Nathorst; p. 16, pl. 2, figs. 1-6; pl. 3, figs. 1-3.

1922 *Cladophlebis nebbensis*: Johansson; p. 14, pl. 2, figs. 1-3; pl. 7, fig. 7; text-figs. 2, 3.

1905 *Cladophlebis nebbensis*: Zeiller; p. 191.

1964 *Cladophlebis nebbensis*: Kilpper; p. 59, pl. 11, figs. 8-10, 12; pl. 12, figs. 1, 3, 6; pl. 13, fig. 2; pl. 14, fig. 5; text-fig. 35.

1970 *Cladophlebis nebbensis*: Alavi & Barale; p. 244, pl. 1, fig. 3.

1977 *Cladophlebis nebbensis*: Corsin & Stampfli; p. 521, pl. 4, figs. 3-5.

1993 *Phlebopteris muensteri*: van Konijnenburg-van Cittert; p. 240, pl. 1, figs. 1, 3, 4; pl. 5, fig. 2.

2009 *Phlebopteris muensteri*: Schweitzer et al.; p. 33, pl. 4, figs. 1-4; pl. 5, figs. 1-3, pl. 6; figs. 1-3; text-figs. 4 a, b.

**توصیف:** پن نازا به درازای ۱۵ سانتیمتر بوده و راشیس آن با خطوط طولی به ضخامت ۲-۳ میلیمتر است. پینول‌ها به طور جانبی به راشیس با زاویه ۸۵ درجه متصل می‌شوند. آنها خطی و به درازای بیش از ۷ سانتیمتر و پهنای ۶-۱۰ میلیمتر در قاعده پینول هستند. قاعده پینول گاهی پهن شده است. رگبرگ میانی واضح بوده و تا انتهای پینول امتداد می‌یابد. رگبرگ‌های جانبی با زاویه ۶۰ تا ۷۰ درجه از رگبرگ میانی خارج می‌شوند. اینها ساده و یا تنها یکبار دو شاخه (dichotomy) می‌شوند. انشعابات حاصله به موازات یکدیگر تا حاشیه پینول امتداد می‌یابند. تعدادی از این انشعابات با یکدیگر در نزدیکی حاشیه برخورد نموده و تشکیل شبکه می‌دهند. تراکم رگبرگ‌های جانبی در حاشیه پینول ۲۷-۲۳ عدد در سانتیمتر است. پن زایای (fertile) این گونه شامل ۱۱ هاگدان از نوع سوری (sori) در سانتیمتر در هر طرف رگبرگ میانی می‌باشد.

*Phlebopteris polypodioides* Brongniart 1828  
emend. Harris 1961

Plate II, Figs. 1, 3; Plate V, 3; Fig. 4: 6

1828 *Phlebopteris polypodioides* Brongniart; p. 372, pl. 83, figs. 1, 1A.

1961 *Phlebopteris polypodioides* Brongniart emend. Harris; pp. 101-106, pl. 33, 34.

1964 *Phlebopteris polypodioides*: Kilpper; p. 26, pl. 5, figs. 4-7; text-figs. 5, 6.

1967 *Phlebopteris cf. polypodioides*: Barnard; p. 553; text-figs. 1 B-D.

1977 *Phlebopteris cf. polypodioides*: Fakhr; p. 64, pl. 14, figs. 1-4; pl. 15, figs. 1, 2; pl. 16, fig. 3; text-figs. 5 B, C.

گزارش شده است. لذا ترجیح داده شد از واژه sp. استفاده شود.

Division Pteridospermophyta

Class Pteridospermopsida

Order Peltaspermales

Family Peltaspermaceae

Genus *Scytophyllum* Bornemann 1856

Type species: *Scytophyllum bergeri* Bornemann 1856

*Scytophyllum persicum* (Schenk 1887) Kilpper 1975

Plate III, Fig. 1; Fig. 3: 13

1887 *Pecopteris persica* Schenk; pp. 3-4, pl. 1, figs. 5, 6.

1905 *Pecopteris persica*: Zeiller; p. 194.

1975 *Scytophyllum persicum* (Schenk) Kilpper; pp. 146-148, pl. 1, fig. 1; text-figs. 4 A-C, 5.

1976 *Scytophyllum persicum*: Sadovnikov; p. 89, pl. 3, figs. 1, 2.

1984 *Scytophyllum persicum*: Vassiliev; pl. 12, fig. 1a.

1998 *Scytophyllum persicum*: Schweitzer & Kirchner; pp. 20-22, pl. 2, figs. 1, 2; pl. 3, figs. 1-11; text-figs. 2, 3.

2006 *Scytophyllum persicum*: Vaez-Javadi; p. 402, pl. 1, fig. 1; fig. 4A.

توصیف: پن به درازای ۱۱/۵ سانتیمتر بوده و راشیس آن ۵-۶ میلیمتر پهنا دارد. پینول‌ها به درازای ۵۶-۶۰ میلیمتر و پهنا ۱۵-۱۶ میلیمتر، با نوک‌های گرد شده تا حاده کُند و حواشی موجود نداشتند. اینها با وضعیتی نیمه متقابل و با زاویه ۶۰ درجه به راشیس متصل می‌گردند. رگبرگ میانی واضح و رگبرگ‌های جانبی ساده هستند.

تراکم رگبرگ‌های جانبی ۵ عدد در سانتیمتر است.

Division Cycadophyta

Order Cycadales

Genus *Nilssonia* Brongniart 1825

Type species: *Nilssonia brevis* Brongniart 1825

*Nilssonia acuminata* (Presl 1838) Goepfert 1844

Plate V, 2; Fig. 3: 5, 8, 9, 14

1977 *Cladophlebis nebbensis*: Fakhr; p. 4, pl. III, figs. 2, 3; text-fig. 4 A-C.

1997 *Cladophlebis nebbensis*: Schweitzer et al.;

pp. 172-174, pl. 19, figs. 1-5; text-figs. 24 B, 26.

2006 *Cladophlebis nebbensis*: Vaez-Javadi; pp. 399, 401, pl. 1, fig. 4; fig. 5G.

توصیف: فروندهای پن (bipinnate frond)، به درازای تقریبی ۴ سانتیمتر است. پن‌ها به طور جانبی و با زاویه ۷۰-۸۰ درجه به راشیس متصل می‌گردند. راشیس اولیه با ۲ میلیمتر پهنا دارای خطوط ظریف طولی است. راشیس ثانویه ۱ میلیمتر پهنا دارد. پینول‌ها مجاور هم قرار دارند و با وضعیت نیمه متقابل تا متناوب با زاویه ۸۵ درجه به راشیس متصل می‌شوند. آنها ۴ میلیمتر طول و ۲ میلیمتر پهنا دارند. نوک آنها گرد شده و کناره‌ها کامل است. رگبرگ میانی واضح بوده و رگبرگ‌های جانبی یکبار دوشاخه می‌باشد.

*Cladophlebis* sp.

Plate V, 5

توصیف: این نمونه یک قطعه کوچکی از پن به درازای ۱۳/۵-۱۴ سانتیمتر می‌باشد. پینول‌ها به درازای ۵-۵/۵ میلیمتر بوده، به طور جانبی و با زاویه ۵۵ درجه و وضعیت نیمه متناوب به راشیس متصل می‌باشند. نوک پینول‌ها حاده کُند و کناره‌های آنها تقریباً موازی است. رگبرگ میانی واضح بوده و رگبرگ‌های جانبی دوبار دوشاخه می‌شوند.

*Cladophlebis aktashensis* گونه مقایسه:

Turutanova-Ketova 1930 به این نمونه شباهت دارد ولی به واسطه دارا بودن پینول‌هایی طویل و داسی شکل از آن تمایز می‌گردد. بعلاوه گونه مذکور از بالایی ترین چینه‌های ژوراسیک زیرین تا ژوراسیک میانی ایران

پهنک برگ به قطعاتی تقسیم شده است. پن‌ها با وضعیتی نیمه متقابل و با زاویه ۷۵-۹۰ درجه روی سطح فوقانی راشیس را که در قاعده برگ ۸ میلیمتر و در رأس ۵ میلیمتر پهنا دارد، می‌پوشاند. پهنک پنها به طور کلی یک شیار V شکل را تشکیل می‌دهد. پنها کاملاً مجاور یکدیگر قرار داشته و دارای کناره‌های موازی، کامل و نوک گرد شده تا برباده شده (truncate) می‌باشند. چین‌های دروغین (pseudovein) به طور اتفاقی در برخی پن‌ها مشاهده می‌شود. رگبرگ‌ها ساده، موازی با تراکم ۳-۵ عدد در هر پن است.

*Nilssonia cf. pterophylloides* Nathorst 1879

Plate IV, Fig. 1

1879 *Nilssonia pterophylloides* Nathorst; p. 72, pl. 16, fig. 1; pl. 17, figs. 2, 3.

1909 *Nilssonia pterophylloides*: Nathorst; p. 21, pl. 6, figs. 1-8; pl. 7, figs. 16-19.

1949 *Nilssonia cf. pterophylloides*: Sze; p. 10, pl. 6, fig. 1.

2000 *Nilssonia cf. pterophylloides*: Schweitzer et al.; p. 31, pl. 8, figs. 1-3; text-fig. 8 a, b.

**توصیف:** برگ یکبار پنه و به درازای ۱۹ سانتیمتر است. پن‌ها خطی، به درازای تقریبی ۷ سانتیمتر (طول نهایی نامعلوم) و پهنازی متغیر از ۴ تا ۶ میلیمتر بوده و با زاویه ۷۰ درجه و با تمام قاعده به راشیس متصل می‌باشد. رگبرگ‌ها موازی، ساده و به تعداد ۷-۹ عدد در سانتیمتر است. پن‌ها از یکدیگر با فضایی حدود ۲ میلیمتر فاصله دارند.

**ملاحظات:** نظر به اینکه این نمونه فاقد رگبرگ‌های دروغین بوده و کوتیکولی نیز از آن حفظ نشده است از واژه cf. جهت تعیین گونه استفاده شده است.

*Nilssonia undulata* Harris 1932

Plate V, 4; Plate VII, 2; Fig. 4: 8, 11

1838 *Zamites acuminatus* Presl in Sternberg; p. 198; pl. 43, fig. 2.

1844 *Nilssonia acuminata* (Presl) Goepert; p. 141.

1914 *Nilssonia acuminata*: Gothan; p. 35, pl. 26, fig. 1; pl. 28, figs. 2, 3; pl. 30, figs. 2-4; pl. 31; pl. 32, figs. 2-3; pl. 33, fig. 4; pl. 38, figs. 2-5; pl. 39, figs. 1, 2.

1968 *Nilssonia acuminata*: Weber; p. 55, pl. 11, fig. 111; pl. 12, figs. 118-120.

1977 *Nilssonia cf. acuminata*: Fakhr; p. 93, pl. 29, figs. 1, 2; pl. 30, fig. 1.

1983 *Nilssonia acuminata*: Sadovnikov; pl. 34, fig. 1.

2000 *Nilssonia cf. acuminata*: Schweitzer et al.; p. 41.

2004 *Nilssonia acuminata*: Vaez-Javadi & Pour-Latif; p. 101, pl. 3, figs. 3, 6.

**توصیف:** برگ یکبار پنه (once pinnate) و به درازای تقریبی ۱۰ سانتیمتر است. پن‌ها روی سطح راشیس را پوشانده‌اند. اندازه‌های آنها متغیر بوده و ۳۳ میلیمتر × ۱۰-۲۱ میلیمتر است. حاشیه زیرین قویاً محدب و حاشیه بالایی مقعر است. رگبرگ‌ها ساده، موازی و مشخص با تراکم ۱۴-۱۵ عدد در سانتیمتر می‌باشند.

*Nilssonia pseudobrevis* (Barnard 1967) Corsin & Stampfli 1977

Plate VIII, fig. 1

1967b *Taeniopteris pseudobrevis* Barnard; p. 725, pl. 61, figs. 1-4.

1977 *Nilssonia pseudobrevis* (Barnard) Corsin & Stampfli; pp. 529-530, pl. 7, figs. 4-6.

1994 *Nilssonia pseudobrevis*: Dobruskina; p. 81, 202, 315-318.

1999 cf. *Nilssonia pseudobrevis*: Vozenin-Serra & Franceschi; p. 41, pl. 18, figs. 1-3.

2000 *Nilssonia pseudobrevis*: Schweitzer et al.; p. 37, pl. 13, figs. 1-6; text-fig. 12.

**توصیف:** چهار نمونه از این گونه وجود دارد. پیرامون کلی برگ خطی - تخم مرغی شکل است. بلندترین نمونه حدود ۱۵ سانتیمتر طول و ۱۰-۱۱ سانتیمتر پهنا دارد.

- Pterophyllum aequale* (Brongniart 1824) Nathorst  
1878
- Plate VII, Fig. 1
- 1824 *Nilssonia ?aequalis* Brongniart; p. 219, pl. 12, fig. 6.
- 1878 *Pterophyllum aequale* (Brongniart) Nathorst; p. 67, pl. 15, figs. 6-11.
- 1887 *Pterophyllum aequale*: Schenk; p. 6, pl. 5, figs. 23-25; pl. 6, figs. 32, 34; pl. 7, fig. 35.
- 1903 *Pterophyllum aequale*: Zeiller; p. 194, pl. 49, figs. 4-7.
- 1905 *Pterophyllum aequale*: Ward; p. 100, pl. XX.
- 1919 *Pterophyllum aequale*: Antevs; p. 27, pl. 3, figs. 5, 6.
- 1922 *Pterophyllum aequale*: Johansson; p. 32, pl. 1, figs. 14-16; pl. 8, fig. 20, 21.
- 1926 *Pterophyllum aequale*: Kasawaki; p. 27, pl. VIII, fig. 24.
- 1938 *Pterophyllum aequale*: Ôishi & Huzioka; p. 85, pl. X, figs. 4, 4a.
- 1977 *Pterophyllum aequale*: Fakhr; p. 125, pls. 41, 42.
- 2003 *Pterophyllum cf. aequale*: Schweitzer & Kirchner; pp. 60-62, pl. 12, fig. 4; text-figs. 20 a, b.
- توصیف: برگ به درازی تقریبی ۵ سانتیمتر، یکبار پنهان و پیرامون کلی آن خطی است. راشیس آشکار بوده و ۱ میلیمتر پهنا دارد. پن‌ها نیز خطی با کناره‌های موازی و به درازی ۱۷ میلیمتر (طول نهایی نامعلوم) و ۱/۷-۱/۸ میلیمتر پهنا هستند. آنها با وضعیت متناوب، با تمام قاعده و با زاویه ۷۰-۸۰ درجه به راشیس متصل می‌باشند. پهنازی پن‌ها تقریباً از قاعده تا نوک یکنواخت است. پن‌ها عموماً خیلی مجاور یکدیگر نمی‌باشند. رگبرگ‌ها ساده یا یکبار در قاعده دوشاخه شده و با تراکم ۱۲-۱۴ عدد در سانتیمتر می‌باشند.
- Pterophyllum bavieri* Zeiller 1903
- Plate IV, Fig. 2
- 1903 *Pterophyllum bavieri* Zeiller; p. 198, pl. 49, figs. 1-3.
- 1964 *Pterophyllum bavieri*: Lorenz; p. 23, pl. 3, fig. B.

- ?1932 *Nilssonia undulata* Harris; p. 41; pl. 3, figs. 3, 8, 9, 11; text-fig. 23.
- 1970 *Nilssonia undulata*: Alavi & Barale, p. 248; pl. 2, figs. 1, 2.
- 2000 *Nilssonia undulata*: Schweitzer et al.; pp. 14-15, pl. 1 figs. 1-8; text-fig. 1 a-f.
- 2006 *Nilssonia undulata*: Vaez-Javadi & Mirzaei-Ataabadi; p. 84, fig. 16A.
- توصیف: برگ خطی به درازی ۱۱ سانتیمتر و پهنای ۳/۵ سانتیمتر در میانه برگ است. پهنک برگ تقسیم نشده و کامل است. رگبرگ‌ها ساده، موازی و ظرفیف با تراکم ۲۱-۲۳ عدد در سانتیمتر می‌باشند.
- Division Uncertain  
Order Bennetitales  
Genus *Dictyozanites* Oldham & Morris 1863  
Type species: *Dictyopteris falcata* Morris 1863  
*Dictyozanites asseretoi* Barnard 1965  
Plate IV, Fig. 3; Fig. 3: 16
- 1965 *Dictyozanites asseretoi* Barnard; pp. 1150-1152, pl. 99, figs. 3, 4; text-figs. 7A-C.
- 1976 *Dictyozanites asseretoi*: Bose & Zeba-Bano; p. 85.
- 1976 *Dictyozanites asseretoi*: Kimura & Sekido; p. 299, text-fig. 32.
- 1983 *Dictyozanites asseretoi*: Sadovnikov; pl. 28, figs. 1-4.
- 2003 *Dictyozanites asseretoi*: Schweitzer & Kirchner; pp. 127-129, pl. 33, figs. 1, 2; text-figs. 53, 54 a, b.
- توصیف: برگ پنهان است. پن‌ها دارای وضعیت متناوب بوده، قاعده آنها گوشواره‌ای (auriculate) است. پن‌های مجاور هم دارای همپوشانی بوده، به درازی ۴ سانتیمتر (طول نهایی نامعلوم) و پهنای ۹-۱۰ میلیمتر هستند. رگبرگ‌بندی در ابتدا دو شاخه‌ای و سپس شبکه‌ای می‌باشد. رگبرگ‌ها در میانه برگ موازی یکدیگر بوده و با تراکم ۳۰-۳۱ عدد در سانتیمتر هستند.

- Genus *Pterophyllum* Brongniart 1828  
Type species: *Pterophyllum longifolium* Brongniart 1828

سرنیزهای شکل و به درازای ۸۲ میلیمتر می باشد. راشیس آشکار و به پهنهای ۲-۷ میلیمتر است. پن ها با آرایش متقابل تا نیمه متقابل و با زاویه حدود ۸۰ درجه، با تمام قاعده به راشیس اتصال می یابند. پن ها به درازای ۲۳ میلیمتر (طول نهایی نامعلوم) و پهنهای ۴-۵ میلیمتر هستند. رگبرگ ها موازی، ساده یا دوشاخه شده و با تراکم ۱۰-۱۲ عدد در هر پن (۲۰-۲۴ در سانتیمتر) هستند. نمونه FJPT-23 بخشی از میانه یک برگ یکبار پنه با درازای ۴ سانتیمتر است. راشیس با ۲/۸-۲/۵ میلیمتر پهنا دارای یک یا دو شیار ظریف طولی (striae) می باشد. پن ها با وضعیت نیمه متقابل و کاملاً مجاور یکدیگر و با زاویه ۷۵-۸۰ درجه به طور جانبی به راشیس اتصال می یابند. پن ها حدود ۲ سانتیمتر طول و ۵-۶ میلیمتر پهنا دارند. کناره های آنها موازی و نوک، بریده شده گرد است. رگبرگ ها موازی، ظریف، ساده یا بندرت یکبار دوشاخه شده و با تراکم ۱۷-۱۸ در پن (۳۰-۳۴ عدد در سانتیمتر) است.

- Pterophyllum schenki* (Zeiller 1886) Zeiller 1903  
Plate VI, Fig. 3; Fig. 3: 15  
1886 *Anomozamites schenki* Zeiller; p. 460, pl. 24, fig. 9.  
1903 *Pterophyllum schenki* (Zeiller) Zeiller; p. 181, pl. 43, fig. 7.  
1977 *Pterophyllum schenki*: Fakhr; p. 121, pl. 38, figs. 1, 2; text-figs. 14 A-C; 15 A-F.  
1984 *Pterophyllum schenki*: Sadovnikov; pl. 30, fig. 8.  
2003 *Pterophyllum schenki*: Schweitzer & Kirchner; pp. 71-74, pl. 15, figs. 1-3; text-fig. 25 a-c.  
2006 *Pterophyllum schenki*: Vaez-Javadi; p. 404, pl. 4, figs. 3, 4.

توصیف: برگ یکبار پنه به درازای ۴/۵ سانتیمتر (طول نهایی نامعلوم) است. راشیس آشکار و ۲ میلیمتر پهنا دارد. پن ها به طور جانبی، با وضعیت متناوب و با زاویه تقریباً قائمه به راشیس متصل می شوند. پن ها به درازای

- 1967 *Pterophyllum bavieri*: Barnard; pp. 559-561, pl. 47, figs. 2, 3, 7; text-fig. 3E.  
1972 *Pterophyllum bavieri*: Kimyai; pp. 14-15, fig. 9.  
1977 *Pterophyllum bavieri*: Corsin & Stampfli; p. 531, pl. 5, fig. 8; pl. 6, fig. 1.  
1977 *Pterophyllum bavieri*: Fakhr; pp. 124-125, pl. 38, figs. 3-6; text-figs. 13A, B.  
1984 *Pterophyllum bavieri*: Vassiliev; pl. 23, fig. 1.  
1999 *Pterophyllum bavieri*: Vozenin-Serra & Franceschi; p. 39, pl. 16, figs. 1, 3, 4.  
2003 *Pterophyllum bavieri*: Schweitzer & Kirchner; pp. 62-67, pl. 13, figs. 1-8; text-figs. 21 a, b, 22 a-f.  
2006 *Pterophyllum bavieri*: Vaez-Javadi; p. 403, pl. 5, figs. 2, 3, 6; fig. 4C.

توصیف: برگ یکبار پنه شده و به درازای ۹ سانتیمتر است. راشیس ۲ میلیمتر پهنا داشته و آشکار می باشد. پن ها خطی، با کناره های مستقیم و نوک تقریباً گرد شده، به درازای ۱۸-۲۰ میلیمتر و پهنهای ۱/۸-۱/۲ میلیمتر با وضعیت متقابل تا نیمه متقابل بوده و کاملاً در مجاورت یکدیگر و با زاویه ۸۰-۸۵ درجه به طور جانبی به راشیس متصل می شوند. رگبرگ ها موازی و احتمالاً ۲-۴ عدد در هر پن می باشد.

- Pterophyllum contiguum* Schenk 1883  
Plate V; Figs. 1, 4  
1883 *Pterophyllum contiguum* Schenk in Richthofen, p. 262, pl. LIII, fig. 6.  
1903 *Pterophyllum contiguum*: Zeiller; p. 191, pl. XLVIII, figs. 1-4, 6.  
1905 *Pterophyllum contiguum*: Ward; p. 99, pl. XIX, figs. 7-11.  
1905 *Pterophyllum contiguum*: Zeiller; p. 194.  
1965 *Pterophyllum contiguum*: Vu Khuc et al.; p. 42, pl. 13, figs. 1-3.  
1977 *Pterophyllum contiguum*: Fakhr; p. 119, pl. XL, fig. 8; text-fig. 13E.  
2002 *Pterophyllum contiguum*: Vaez-Javadi & Ghavidel-Syooki; p. 66, pl. 4, fig. 3; text-fig. 4C.  
توصیف. دو نمونه از این گونه وجود دارد. نمونه FJPT-22 بخش قاعده ای یک برگ است که یکبار پنه،

cf. *Weltrichia primaeva* Schweitzer & Kirchner  
2003

Plate VIII, Fig. 3; Fig. 4: 1

2003 *Weltrichia primaeva* Schweitzer & Kirchner; pp. 144-147, pl. 38, figs. 1, 2; pl. 39, figs. 1-5; text-figs. 61a-c, 62a, 63.

**توصیف:** این نمونه یک گل نر (male flower) شامل یک محور به درازای ۵۵ میلیمتر و پهنای ۲/۷-۲/۹ میلیمتر و خطوط ظریف طولی است. میکروسپوروفیل‌ها (microsporophylls) برگ مانند بوده و دارای سطح بیرونی محدب و سطح زیرین مقعر می‌باشند. تعداد تقریبی آنها ده عدد در هر سمت محور است. میکروسپوروفیل‌ها به درازای ۱۶-۱۷ میلیمتر و پهنای ۹-۸ میلیمتر هستند و دارای نوک تیز (acute) تا حاده گُند می‌باشند. کیسه‌های گرده در آنها دیده نشد. به همین دلیل از واژه «cf.» برای نام‌گذاری استفاده شد.

Genus *Nilssoniopteris* Nathorst 1909

*Nilssoniopteris musafolia* Barnard 1965

Plate VI, Fig. 1

1965 *Nilssoniopteris musafolia* Barnard; pp. 1145-1146, pl. 98, fig. 4; pl. 99, fig. 1; text-figs. 5DD-G.

2003 *Nilssoniopteris musafolia*: Schweitzer & Kirchner; p. 26, pl. 1, fig. 1; text-fig. 1.

2006 *Nilssoniopteris musafolia*: Vaez-Javadi; p. 402, pl. 2, fig. 1; pl. 3, fig. 1; fig. 6.

**توصیف:** پهنگ برگ کامل و تقسیم نشده، به درازای ۱۱ سانتیمتر (طول نهایی نامعلوم) و پهنای تقریبی ۸ سانتیمتر و کناره‌های موجود است. رگبرگ میانی آشکار، به پهنای ۳/۵ میلیمتر و دارای خطوط ظریف طولی است. رگبرگ‌ها موازی بوده و با زاویه قائم از رگبرگ میانی خارج می‌شوند. رگبرگ‌های جانبی یک یا دو بار دوشاخه شده و با تراکم ۱۶-۱۷ سانتیمتر نزدیک رگبرگ میانی و ۳۲-۳۴ عدد در سانتیمتر در حاشیه برگ هستند.

*Nilssoniopteris schenkiana* Barnard 1965

۳ سانتیمتر و پهنای ۱ سانتیمتر بوده و با یک سینوس گردشده قاعده‌ای به پهنای ۱/۵-۳ میلیمتر از یکدیگر جدا می‌شوند. پن‌ها دارای کناره‌های موازی و نوک بریده شده هستند. رگبرگ‌ها موازی، ساده یا یکبار دوشاخه شده با تراکم ۱۸-۱۹ در سانتیمتر است.

*Pterophyllum tietzei* Schenk 1887

Plate VI, Fig. 4; Plate VII, Fig. 3

1887 *Pterophyllum tietzei* Schenk; pl. 6, figs. 27-29; pl. 9, fig. 52.

1903 *Pterophyllum tietzei*: Zeiller; pp. 189-190, pl. XLVII, figs. 1a, 1, 1'.

1965 *Pterophyllum tietzei*: Barnard; pp. 1146-1149, pl. 99, fig. 2; text-figs. 6 A-D.

1972 *Pterophyllum tietzei*: Kimyai; p. 15, fig. 10.

1977 *Pterophyllum cf. tietzei*: Corsin & Stampfli; p. 533, pl. 9, fig. 8.

1977 *Pterophyllum tietzei*: Fakhr; p. 118, pl. 40, fig. 3; text-fig. 14 D, E.

1984 *Pterophyllum tietzei*: Vassiliev; p. 49, pl. 24, fig. 1.

2003 *Pterophyllum tietzei*: Schweitzer & Kirchner; pp. 75-78, pl. 15, fig. 4; pl. 16, figs. 1, 2; text-fig. 26 a, b.

2006 *Pterophyllum tietzei*: Vaez-Javadi; p. 404, pl. 4, fig. 1; fig. 5 H, I.

**توصیف:** پنج نمونه از این گونه جمع آوری گردید. بزرگترین آنها به درازای ۱۷/۵ سانتیمتر و یکبار پنه است. راشیس آشکار بوده و به پهنای ۱-۴ میلیمتر و دارای خطوط طولی است. پن‌ها با زاویه ۷۰-۷۵ درجه با وضعیت نیمه متقابل تا متناوب به طور جانبی به راشیس اتصال می‌یابند. پن‌ها طویل، بیش از ۶ سانتیمتر طول و ۹-۱۰ میلیمتر پهنا، با کناره‌های کامل هستند. پن‌ها با یک سینوس قاعده‌ای به پهنای ۱-۱/۵ میلیمتر از یکدیگر فاصله دارند. رگبرگ‌ها موازی، ظریف، ساده یا یکبار دوشاخه شده، با تراکم ۱۹-۲۰ عدد در پن‌های قاعده‌ای و ۳۰-۳۲ عدد در پن‌های بخش میانی می‌باشند.

Genus *Weltrichia* Braun 1849 emend. Harris 1969  
Type species: *Weltrichia mirabilis* Braun 1849

۱۲ میلیمتر و ۹-۱۰ میلیمتر است. عده‌ای از محققین آنها را به کونی فرال‌ها و عده دیگر به سیکادال‌ها نسبت داده‌اند.

### انتشار جغرافیایی و چینه شناسی تاکسون‌های ماکروفیل گیاهی

مجموعه ماکروفیل‌های شناسایی شده از رتین معدن زغال‌سنگ منطقه پروده، در البرز مرکزی و شرقی واقع در شمال ایران نیز به خوبی گسترش دارند. همچنین، به طور محدودتری این تاکسون‌ها در حوزه کرمان گزارش گردیده‌اند. این مجموعه با ماکروفیل‌های گزارش شده از پایین‌ترین سازند از رخنمون‌های گروه شمشک واقع در طزره، زیراب، هیو، دورود، اشتار، شمشک، جام، قشلاق، نرگس چال و جاجرم قابل مقایسه می‌باشد. انتشار چینه شناسی و جغرافیایی گونه‌های ماکروفیل گیاهی منطقه معدن زغال‌سنگ پروده در سرتاسر ایران و جهان در دو جدول مرتب شده‌اند (جدول ۱ و ۲). بر اساس حضور گونه‌هایی نظیر *Equisetites muensteri*, *Scytophyllum persicum*, *Equisetites arenaceus*, *Pterophyllum schenki*, *Pterophyllum bavieri*, *Nilssonia* و *Nilssoniopteris musafolia* *pseudobrevis* سن رتین برای این مجموعه فیلی خاطر نشان می‌گردد. نظر به اینکه تعداد بسیاری از ماکروفیل‌های گیاهی شناسایی شده در منطقه پروده طبس با فیل‌های معرفی شده توسط سایر محققین از نواحی البرز مشابهت دارد می‌توان چنین نتیجه گرفت که به لحاظ جغرافیای دیرینه بلوک طبس در خلال تریاس بالایی (رتین) با پهنه البرز (شمال ایران) ارتباط تنگاتنگی داشته و محیط زیست یکنواختی (uniform environment) را تشکیل می‌داده است.

### Plate VI, Fig. 2

- 1965 *Nilssoniopteris schenkiana* Barnard; pp. 1139-1144; pl. 97, fig. 1; pl. 98, fig. 1; text-figs. 3 B-H, 4, 5 A-C.  
 1983 *Nilssoniopteris schenkiana*: Sadovnikov; pl. 33, figs. 1-6.  
 2003 *Nilssoniopteris schenkiana*: Schweitzer & Kirchner; p. 27, pl. 1, figs. 2-7; pl. 2, figs. 1, 2; text-figs. 3 B-H, 4 A-K, 5 A-C.

توصیف: پهنه برگ کامل و به شکل کلی تینیوپتروئید (taeniopteroid)، به درازای بیش از ۱۱ سانتیمتر (طول نهایی نامعلوم) و حدود ۴ سانتیمتر پهنا، کناره کامل، نوک فرورفتہ (emarginated) است. برگ تدریجاً به سمت نوک باریک می‌شود و دارای دمبرگ است. رگبرگ میانی واضح بوده و رگبرگ‌های جانبی ساده یا یکبار دوشاخه شده و بندرت دوبار دوشاخه شده هستند. تراکم رگبرگ‌ها در مجاورت رگبرگ میانی ۱۱-۱۲ عدد در سانتیمتر و در حاشیه ۲۱-۲۲ عدد در سانتیمتر است. در برخی نمونه‌ها تراکم رگبرگی بیشتر می‌باشد و به ۲۶-۲۶ عدد در سانتیمتر در نزدیکی رگبرگ میانی می‌رسد.

Division: Coniferophyta

Class: Coniferopsida

Order Coniferales

Genus *Elatocladus* Halle 1913

Type species: *Elatocladus heterophylla* Halle 1913

*Elatocladus* sp.

### Plate IV, 6a, Fig. 5: 4

توصیف: این نمونه یک شاخه از مخروطیان به درازای ۴۲ میلیمتر است. برگ‌ها با آرایش مارپیچی و با زاویه ۶۰ درجه پیرامون ساقه قرار گرفته‌اند. برگ‌ها خطی، ۵ میلیمتر طول و  $40/5$  میلیمتر با نوک حاده گُند هستند.

Division Uncertain

Genus *Carpolithes* Schlotheim 1820

*Carpolithes* sp.

### Plate VIII, 2; Fig. 4: 5

توصیف: تعداد ۸ دانه کوچک، اندازه در یک لایه زغالی حفظ شده‌اند. این دانه‌ها تخم مرغی شکل به درازای ۱۳-

## جدول شماره ۱- محدوده انتشار چینه شناسی و جغرافیای تاکسون‌های مورد مطالعه در سایر نواحی ایران.

فهرست گونه‌ها	محل	سن	نویسنده(گان)
<i>Cladophlebis nebbensis</i>	لالون، قشلاق، زیراب، پروده، هیو، دورورده، جام، رودبارک، نرگس چال، داربید خون (حوزه کرمان)	نورین- اوائل ژوراسیک میانی	۴، ۵، ۱۱، ۲۰، ۱۷، ۱۶
<i>Dictyophyllum exile</i>	شمشك، جاجرم	نورین- رتین	۱۵، ۴
<i>Dictyozamites asseretoi</i>	دورود، شکدوک (البرز)	رتین	۱۴، ۸، ۱
<i>Equisetites arenaceus</i>	طزره، جاجرم، پروده	نورین- رتین	۲۰، ۱۶، ۱۱
<i>Equisetites muensteri</i>	اشتر	رتین	۲
<i>Neocalamites cf. meriani</i>	بین گرگان و قشلاق	رتین	۱۱، ۳
<i>Nilssonia acuminata</i>	فریزی، طزره، گلمکان	رتین- اوائل ژوراسیک میانی	۱۳، ۸، ۴
<i>Nilssonia pseudobrevis</i>	شمال شرق شاهروده، طزره، داربیدخون	نورین- رتین	۱۳، ۸، ۳
<i>Nilssonia cf. pterophylloides</i>	طزره، اشکلی (حوزه کرمان)	رتین- اوائل ژوراسیک میانی	۱۳
<i>Nilssonia undulata</i>	آبیک، طزره، جام، حوزه کرمان	رتین- اوائل ژوراسیک میانی	۱۸، ۱۳
<i>Nilssoniopteris musafolia</i>	دورود، هیو، نرگس چال	رتین	۱۷، ۱۴، ۱
<i>Nilssoniopteris schenkiana</i>	دورود، طزره، تاش علیا، شکدوک	رتین	۱۴، ۱
<i>Phlebopterus muensteri</i>	اسک، کلاریز، قشلاق، داربیدخون، پابدانا	رتین- اوائل ژوراسیک میانی	۱۸
<i>Phlebopterus polypodioides</i>	آبیک، زیراب، سنگرود، نرگس چال	رتین- اوائل ژوراسیک میانی	۱۷، ۱۵، ۲
<i>Pterophyllum aequale</i>	شمشك، کمان	رتین	۱۴، ۴
<i>Pterophyllum bavieri</i>	هیو، آقوس بین، قزوین، گرمابدر، اسک، زیراب، طزره، باب نیزو	نورین- رتین	۱۴، ۷، ۶، ۲ ۲۰، ۱۷
<i>Pterophyllum contiguum</i>	شمشك، جاجرم	رتین- اوائل ژوراسیک میانی	۱۶، ۴
<i>Pterophyllum schenki</i>	آبیک، شمال شرق شاهروده، زیراب، تیری بازار (بابل)، طزره، نرگس چال	نورین- ژوراسیک آغازی	۱۷، ۱۴، ۴، ۳
<i>Pterophyllum tietzei</i>	هیو، گرمابدر، زیراب، نرگس چال، پروده	رتین- اوائل ژوراسیک میانی	۱۴، ۷، ۱ ۲۰، ۱۷
<i>Scytophyllum persicum</i>	طزره، هیو، آقوس بین، نرگس چال، داربیدخون	رتین	۱۷، ۱۲، ۹، ۸
<i>Weltrichia primaeva</i>	زیراب	اواخر ژوراسیک آغازی	۱۴

Kilpper -۵ ،(1977) Fakhr -۴ ،(1977) Corsin & Stampfli -۳ ،(1967) Barnard -۲ ،(1965) Barnard -۱ -۱۰ ،(1887) Schenk -۹ ،(1976) Sadovnikov -۸ ،(1964) Lorenz -۷ ،(1972) Kimyai -۶ ،(1964) -۱۳ ،(1998) Schweitzer et al. -۱۲ ،(1997) Schweitzer et al. -۱۱ ،(1996) Schweitzer & Kirchner -۱۶ ،(2009) Schweitzer et al. -۱۵ ،(2003) Schweitzer & Kirchner -۱۴ ،(2000) Schweitzer et al. Vaez-Javadi & Mirzaei- -۱۸ ،(2006) Vaez-Javadi -۱۷ ،(2002) Vaez-Javadi & Ghavidel-Syooki .(1984) Vassiliev -۲۰ (2011) Vaez-Javadi -۱۹ ،(2006) Ataabadi و.

جدول شماره ۲ - محدوده انتشار چینه شناسی و جغرافیای دیرینه گونه های مطالعه شده منطقه پروردگار در سایر نقاط جهان.

فهرست گونه ها	محل	نویسنده یا نویسنده گان	سن
<i>Equisetites arenaceus</i>	Lunz (Austria), S. Germany, Switzerland, Siberia, Turkestan	Heer (1877), Jongmans (1922), Frentzen (1934), Kräusel (1958), Kräusel et al. (1959), Kelber et al. (1998), Pott et al. (2008)	رتین
<i>Equisetites muensteri</i>	Franconia (Germany), Autun (France), Scania (Sweden), Bornholm (Denmark)	Sternberg (1833), Schenk (1865), Schimper (1869), Hartz (1896), Harris (1931), Möller (1902), Kräusel (1958), Saporta (1873), Raciborski (1891), Nathorst (1878), Halle (1908)	رتین - ژوراسیک آغازی
<i>Neocalamites meriani</i>	Lunz (Austria), S. Germany, Switzerland	Heer (1877), Halle (1908), Frentzen (1934), Kräusel (1958), Kräusel et al. (1959), Kelber et al. (1995), Pott et al. (2008)	رتین - ژوراسیک آغازی
<i>Cladophlebis nebbensis</i>	Sweden, Skåne, Bornholm (Denmark)	Nathorst (1876), Johansson (1922), Mehlqvist et al. (2009)	رتین - ژوراسیک
<i>Dictyophyllum Exile</i>	Seinstedt, Bjuf (Scania), Greenland, Poland, China (Zhejiang, Yunnan), Central Asia (Chrebet, Kawak-tau, Issyk-kul)	Brauns (1862), Nathorst (1878), Harris (1926, 1931), Lundblad (1950), Sikstel (1960), Genkina (1966), Chen (1986)	نورین - اوائل لیاس
<i>Phleopteris muensteri</i>	Franconia (Germany), Greenland, Scania, Bornholm, Poland, Austria, Hungary, Afghanistan, Romania, Pamir	Schenk (1867), Hirmer et al. (1936), Lindley & Hutton (1831), Raciborski (1894), Harris (1931), Boureau et al. (1950), Givulescu et al. (1990), Van Konijnenburg-Van Cittert (1993)	کارنین - کرتاسه آغازی

<i>Phleopteris polypodioides</i>	Great Britain	Brongniart (1828), Lindley & Hutton (1833)	رتین - لیاس پایانی
<i>Pterophyllum aequale</i>	Tonkin, Scania (Sweden), Germany, U. S. America, Korea, Japan,	Brongniart (1824), Nathorst (1878), Schenk (1887), Zeiller (1903), Ward (1905), Antevs (1919), Johansson (1922), Kasawaki (1926), Ôishi & Huzioka (1938)	رتین - لیاس آغازی
<i>Pterophyllum bavieri</i>	Tonkin, Pamir, Tadzhikistan, China (Kaoming, Kwantung, Fujian, S.China, Szechuan, Hunan, Jiagxi, Hubei, Guizhou), Riau Archipelago (Indonesia)	Zeiller (1903), Prynada (1934), Tsao (1965), Zhou (1978), Feng et al. (1978), Xu et al. (1979), He et al. (1980), Meng (1983), Chen (1986), Dobruskina (1994), Wade-Murphy et al. (2008)	نورین - رتین - اوائل لیاس آغازی
<i>Nilssonia acuminata</i>	Franconia (Germany)	Goeppert (1844), Schenk (1867), Gothan (1914)	رتین - ژوراسیک میانی
<i>Nilssonia pseudobrevis</i>	Kalawch (N. Afghanistan), Tajikistan, Viêtnam	Barnard (1967b), Dobruskina (1994), Vozentin-Serra (1999)	نورین - رتین

گرم‌سیری تا گرم‌سیری برای زمان رتین در منطقه پروده طبس هستند. اکثر گونه‌های ماکروفسیل گیاهی این منطقه در سرتاسر نیمکره شمالی، پراکنش گسترده‌ای در خلال رتین داشته‌اند. این گونه‌ها عبارتند از: *E. muensteri Equisetites arenaceus*, *P. Phleopteris muensteri Dictyophyllum exile*, *Pterophyllum bavieri* و *polypodioides*.

### سپاسگزاری

نگارنده بر خود فرض می‌داند که از شرکت زغال‌سنگ پروده به ویژه جناب آقای مهندس کُریتی مدیرعامل و جناب آقای مرتضی جلالی فرد کارشناس آموختش معدن نهایت قدردانی خود را بعمل آورم. ضمناً از

### نتیجه‌گیری

عضو قدیر حاوی ماکروفسیل‌های گیاهی فراوان و با حفظ شدگی خوبی است. تعداد ۲۴ گونه از ۱۴ جنس متعلق به راسته‌های اکوئی ستال‌ها، اسموندال‌ها، فیلیکال‌ها، پلتاسپرمال‌ها، سیکادال‌ها، بتیتال‌ها و کونی فرال‌ها مورد شناسایی قرار گرفتند. بر اساس انتشار *Equisetites arenaceus*, چینه شناسی گونه‌های *Scytophyllum persicum*, *Pterophyllum bavieri* و *Nilssoniopteris musafolia* سن رتین برای این مجموعه خاطرنشان می‌گردد. همچنین، بر پایه پراکنش فلور رتین در ستون چینه شناسی، یک بیوزون تجمعی (Assemblage zone I) تشخیص داده شد. این مجموعه گیاهان فسیل موید آب و هوایی مرطوب نیمه

- 9- Bose, M.N. and Zeba-Bano, 1976, The Genus *Dictyozamites* Oldham from India: *Palaeobotanist*, v. 25, p. 79-99.
- 10- Boureau, E., R., Furun, and L.F., Roset, 1950, Contribution à l'étude des flores jurassiques d'Asie. 1. Le plateau Iranien: *Mém. Mus. Nat. d'Hist. Nat.*, n.s., v. 2, p. 207-242.
- 11- Boureau, E., 1970, In Andrews, H.N; Boureau, E.; Arnold, C.A.; Doubinger, J. & Leclercq, S., *Traité de paléobotanique. IV. Filicophyta*. Maçon et ci, Paris. 519 p.
- 12- Bragin, N., S.A., Golubev, and B.V., Polianski, 1981, Paleogeography of main stage of Lower Mesozoic coal measures accumulations in Iran: *Litol. Polens. Iskop.*, v. 1, p. 69-80.
- 13- Brauns, D., 1862, Der Sandstein bei Seinstedt unweit des Fallsteins und die in ihm vorkommenden Pflanzenreste. *Palaeontographica B*, 9: 47-62, Stuttgart.
- 14- Brongniart, A., 1828-1838, *Histoire des végétaux fossiles, ou recherches botaniques et géologiques sur les végétaux renfermés dans les diverses couches du globe*. 1- (1828-1837): XII + 488 pp; 2- (1837-1838): 72 pp. Paris.
- 15- Brönnimann, P., L., Zaninetti, F., Bozorgna, G.R., Dashti, and A., Moshtaghian, 1971, Lithostratigraphy and Foraminifera of the Upper Triassic Naiband Formation, Iran: *Rev. Micropaleont.*, v. 14, p. 7-16.
- 16- Chen, Q.S., 1986, Late Triassic plants from Chayuanli Formation in Quxian, Zhejiang: *Acta Palaeon. Sinica*, v. 25 (4), p. 445-453 (in Chinniese)
- 17- Corsin, P., and G., Stampfli, 1977, La formation de Shemshak dans l'Elburz oriental (Iran) flore – stratigraphie – paléogéographie: *Geobios*, v. 10, p.509-571.
- 18- Dobruskina, I.A., 1994, Triassic floras of Eurasia. Österr. Akad. Wiss., Schriftenreiche Erdwiss. Komm., 10 : 422 pp. Wien, New York.

همسر بزرگوارم جناب آقای مجید یزدانی که در تمامی مراحل عملیات صحرایی و نگارش مقاله مشوق و همراه بودند سپاسگزاری می‌نمایم.

#### منابع

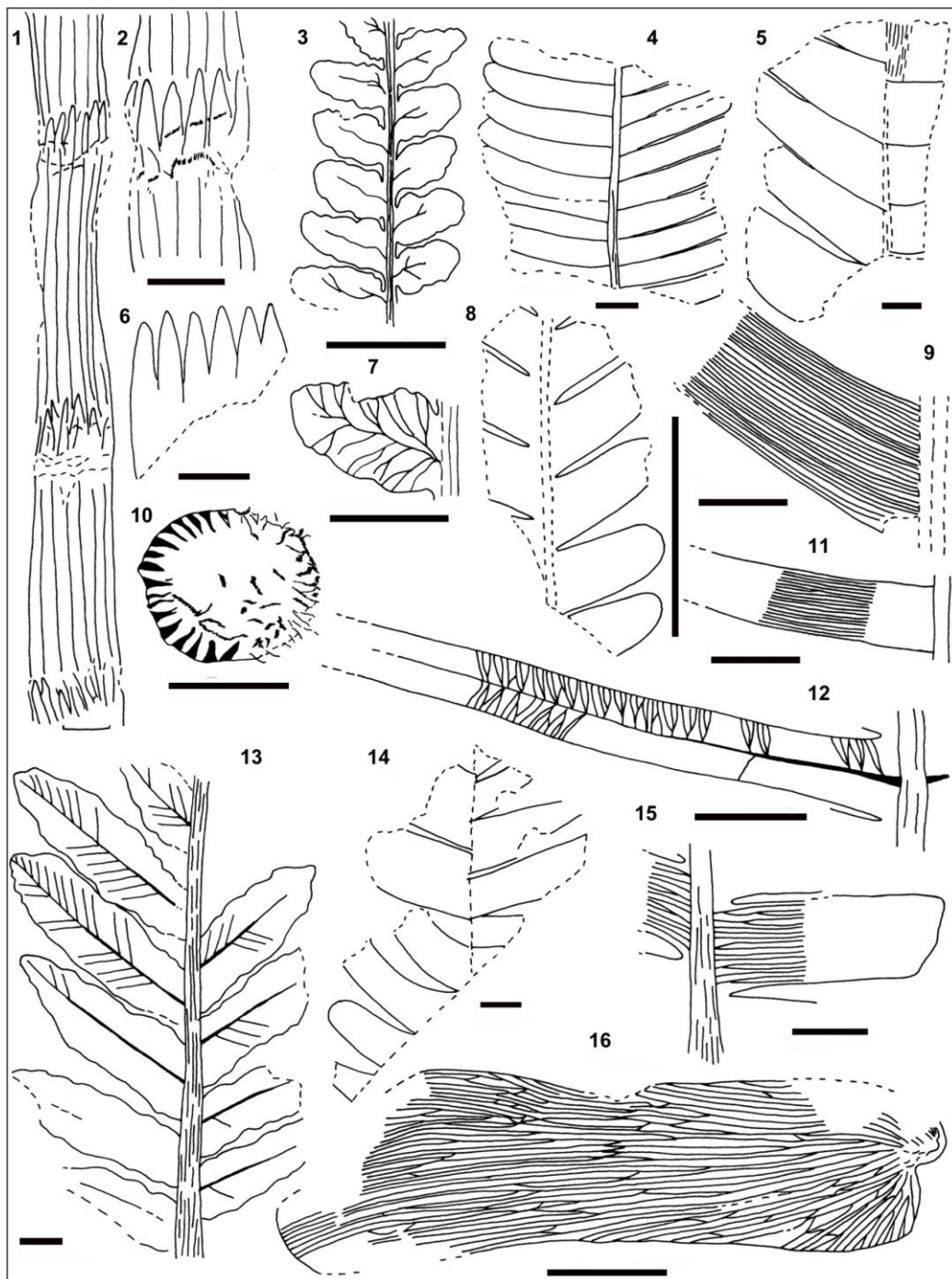
- ۱- آقانباتی، س.ع.، ۱۳۸۸، فرهنگ چینه شناسی ایران. تریاں. جلد سوم ۷۷۷ صفحه. انتشارات سازمان زمین شناسی و اکتشافات معدنی کشور، تهران.
- ۲- آقانباتی، س.ع. و حقی پور، ع.، ۱۹۷۸، نقشه زمین شناسی ۱:۲۵۰۰۰ طبس. نقشه شماره ۱۷: سازمان زمین شناسی و اکتشافات معدنی کشور.
- 3- Alavi, M. and G. Barale, 1970, Étude préliminaire de la flore de la formation de Shemshak dans la region de Djam: *Bull. Soc. Linn. Lyon*, v. 39 (8), p. 241-252.
- 4- Antevs, E., 1919, Die liassische Flora des Hörsandsteins: *Kungl. Svenska Vet.-Acad. Handl.*, v. 59 (8), p. 1-71.
- 5- Barnard, P.D.W., 1965, The geology of the upper Djadjerud and Lar valleys (North Iran) II. Palaeontology. Flora of the Shemshak Formation Part 1. Liassic plants from Dorud: *Riv. Ital. Paleont. Strat.*, v. 71 (4), p. 1123-1168.
- 6- Barnard, P.D.W., 1967a, The geology of the upper Djadjerud and Lar valleys (North Iran) II. Palaeontology. Flora of the Shemshak Formation Part 2. Liassic plants from Shemshak and Ashtar: *Riv. Ital. Paleont. Strat.*, v. 73 (2), p. 539-588.
- 7- Barnard, P.D.W., 1967b, Two new plants from the Upper Triassic of North East Afghanistan: *Riv. Ital. Paleont. Strat.*, v. 73 (3), p. 723-728.
- 8- Bartholin, C.T. 1894, Nogle I den bornholmske Juraformation forkommende Planteforsteninger, II, Cycadeaceae: *Ibid*, v. 19, p. 87-115.

- Cryptogams (exclusive of Lycopodiales): Meddel. om Grönl., v. 85 (2), p. 1-104.
- 31- Harris, T.M., 1932, The fossil flora of Scoresby Sound East Greenland, Part 2: Description of seed plants incertae sedis together with a discussion of certain Cycadophyte cuticle: Meddel. om Grönl., v. 85 (3), p. 1-112.
- 32- Harris, T.M., 1937, The fossil flora of Scoresby Sound East Greenland, Part 5: Stratigraphic relations of the plant beds: Meddel. om Grönl., v. 112 (2), p. 1-112.
- 33- Harris, T.M., 1961, The Yorkshire Jurassic Flora, I. Thallophyta-Pteridophyta. Brit. Mus. (Nat. Hist.), 212 p. London.
- 34- Hartz, N., 1896, Plante forstening fra Cap Stewart i Østgrønland: Medd. om Grønland, v. 19, p. 217-247.
- 35- He, D., and X., Shen, 1980, Plant Fossils.- In: Fossils from Mesozoic Coal-bearing Series from Hunan and Jiangxi Provinces: Inst. Geol. Prosp., Chin. Acad. Coal Sciences, v. 4, 49 p.
- 36- Heer, O., 1877, Flora Fossilis Helvetiae. VIII + 182 p. Zürich.
- 37- Hirmer, M., and L., Hoerhammer, 1936, Morphologie, Systematik und geographische Verbreitung der fossilen und rezenten Matoniaceen: Palaeontographica B, v. 81, p. 1-70.
- 38- Johansson, N., 1922, Die Rätische Flora der Kohlengruben bei Stabbarp und Skromberga in Schonen, Kungl. Svenska Veter.-Acad. Handl., v. 63 (5), p. 1-78.
- 39- Kasawaki, S., 1926, Addition to the older Mesozoic plants in Korea: Ibid., v. 4 (2), p. 1-35.
- 40- Kelber, K.-P., and W., Hansch, 1995, Keuperpflanzen. Die Enträtselung einer über 200 Millionen Jahre alten Flora: Museo, v. 11, p. 1-157.
- 41- Kilpper, K., 1975, Paläobotanische Untersuchungen im Nord-Iran. I. Nachweis
- 19- Douglas, J.A., 1929, A marine Triassic fauna from eastern Persia: Quart. J. Geol. Soc. London, v. 85, p. 625-650.
- 20- Ettinghausen, K., 1851, Begründung einiger neuen oder nicht genau bekannten Arten der Lias und Oolithoflora: Abh. Geol. Bundesanst., v. 1(3), p. 1-41.
- 21- Fakhr, M.S., 1977, Contribution a l'étude de la flore Rhéto – Liasique de la formation de Shemshak de l'Elbourz (Iran): Mémoire de Section de Science, v. 5, 178 p., pl. I-LI. Paris.
- 22- Feng, S., F., Meng, G., Chen, Y., Xi, C., Zhang, and Y., Liu, 1978, Plants.- In: Fossil Atlas of Central South China. III. Mesozoic and Caenozoic Era. (pp. 195-262). (In Chinese)
- 23- Frentzen, K., 1934, Über die Schachtelhalmgewächse des Keupers: Aus der Heimat, v. 47, p. 147-152.
- 24- Genkina, R.S., 1966, Fossil flora and stratigraphy of the Lower Mesozoic deposits of the Issyk-Kul Basin (Northern Kirgizia): Akad.Nauk. SSSR isd., 1-148. (In Russian)
- 25- Givulescu, R., and Z., Czier, 1990, Neue Untersuchungen über die Floren des unteren Lias Rumäniens: Documenta naturae, v. 59, p. 8-19.
- 26- Goeppert, H.R., 1841-1846, Les genres des plantes fossiles comparés avec ceux du monde moderne expliqués par des figures. Henry and Cohen, Bonn. 120 p., 46 pls.
- 27- Gothan, W., 1914, Die unter-liassisches ('rhaetische') Flora der Umgegend von Nürnberg mit Taf. 17-39: Abh. Natur. Ges. Nürnberg, v. 19, p. 89-186.
- 28- Halle, T.G., 1908, Zur Kenntnis der mesozoischen Equisetales Schwedens. Kungl. Sven. Vetens.- Akadem. Handl., v. 43, p. 1-56.
- 29- Harris, T.M., 1926, The Rhaetic Flora of Scoresby Sound, East Greenland: Medd. Om Gron., v. 68, p. 1-148.
- 30- Harris, T.M., 1931, The fossil flora of Scoresby Sound East Greenland, Part 1:

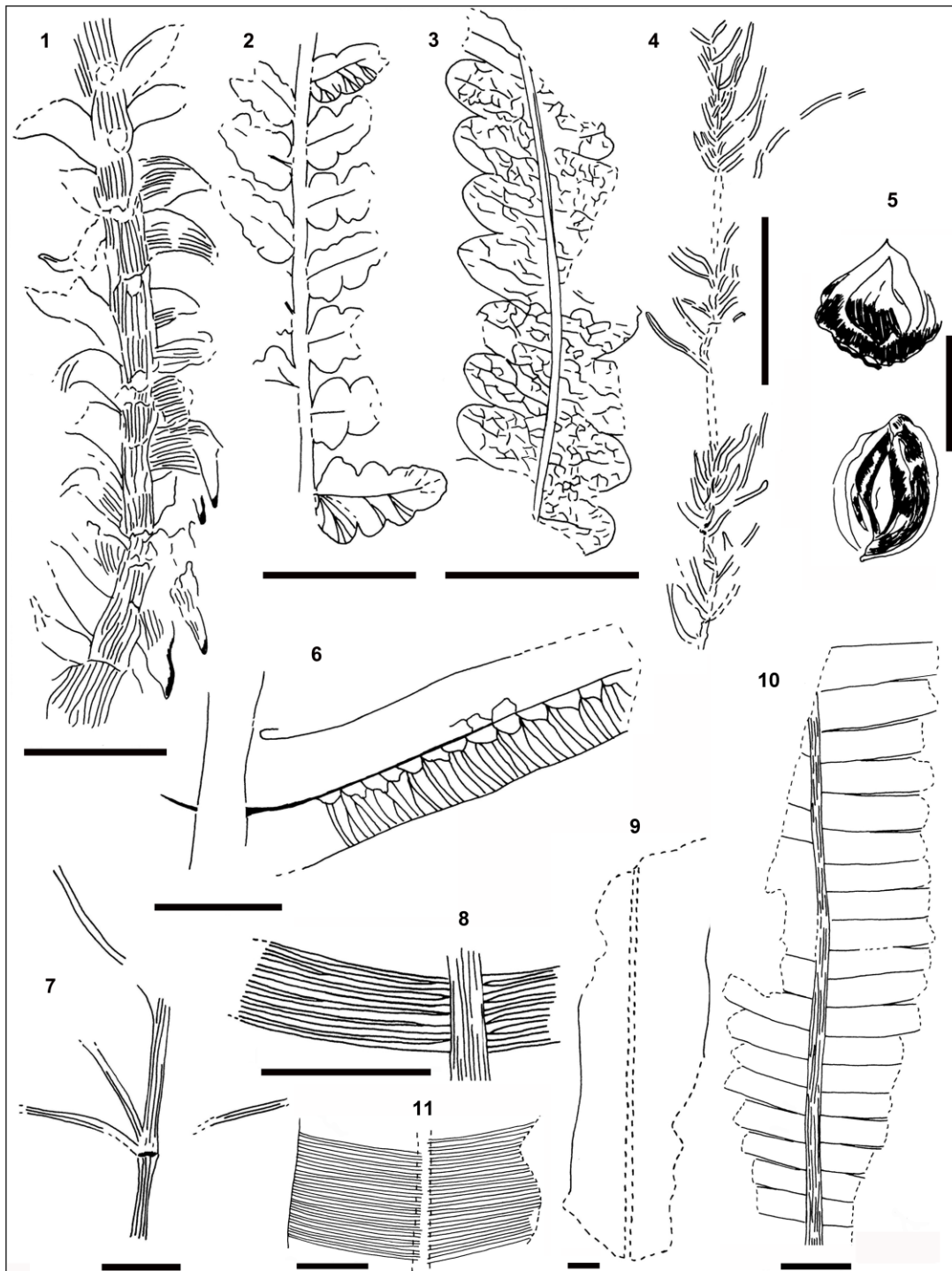
- fossil collection at Lund University, Sweden: GFF, v. 131 (1), p. 137-146.
- 51- Meng, F.S., 1983, New materials of fossil plants from the Jiuligang Formation of Jingmen-Danyang Basin, W. Hubei: Prof. Pap. Strat.Palaeont., v. 10, p. 223-238. (In Chinese with English abstract)
- 52- Möller, H., 1902, Bidrag till Bornholms fossila flora, Pteridofyter: Lund University Arsskr., v. 38 (2, 5), 63 p.
- 53- Nathorst, A.G., 1878, Om floran Skanes Kolförande bildningar. 1. Floran vid Bjuf: Sver. Geol. Unders. Ser. C, v. 29, p. 1-53.
- 54- Nathorst, A.G., 1879, Om Floran Skanes Kolförande Bildningar. I. Floran vid Bjuf. Andra Häftet: Sver. Geol. Unders., S. C., v. 33, p. 55-82.
- 55- Nathorst, A.G., 1909, Über die Gattung *Nilssonia* Brongniart mit besonderer Berücksichtigung schwedischer Arten: Kung. Svenska Veter.-Acad. Handl., v. 45 (4), 37 p.
- 56- Ôishi, S., and K., Huzioka, 1938, Fossil plants from Nariwa. Supplement: Ibid., v. 4 (1-2), p. 69-101.
- 57- Pott, C., H., Kerp, & M., Krings, 2008, Sphenophytes from the Carnian (Upper Triassic) of Lunz am See (Lowe Austria): Jahrb. Geol. B.-A., v. 148 (2), p. 183-199.
- 58- Presl, K., in Sternberg, C., von, 1838, Versuch einer geognostisch-botanischen Darstellung der Flora der Vorwelt, Part 8, vii+71 pp., Leipzig & Prag.
- 59- Prynada, W.D., 1934, Mesozoic plants from Pamir: Trudy Exped. Geol. Pamira. Akad.Nauk. S.S.S.R., v. 9, p. 1-100. (In Russian with English summary)
- 60- Raciborski, M., 1891, Flora rectyca polnocnego stoku górz Swietokryskich: Rozpr.Ak. Umiej.(Wydz. Mat. Przyr. 23) s. 2, v. 3, p. 202-326.
- 61- Repin, 1982, Stratigraphy correlation between the Shemshak Serie and the Nayband Serie and their stratigraphic distribution. nichtmariner Obertrias am Nordabfall des Alburs-Gebirges: Rev. Palaeob. Palyn., v. 19, p. 139-153.
- 42- Kimura, T., and S., Sekido, 1976, *Dictyozaamites* and some other Cycadophytes from the Early Cretaceous Oguchi Formation, the Itoshiro Group, Central Honshu, Japan:Trans. Proc. Palaeont. Soc. Japan, N. S., v. 101, p. 291-312.
- 43- Kimyai, A., 1972, Fossil flora of Shemshak Formation, Garmabdar area: Jour. Scien., Tehran Univ. v. 3 (2), p. 7-25.
- 44- Kluyver, H.M., R., Tirrul, P.N., Chance, G.W. Johns, and H.M., Meixner, 1983, Explanatory text of the Naybandan Quadrangle Map 1: 250,000: Geol. Surv. Iran, Geol. Quadrangle J8, 1-43.
- 45- Kraüsel, R., 1958, Die Juraflora von sassendorf bei Bamberg. I. Sporenpflanzen: Senck.-berg. Lethaea, v. 39, p. 67-103.
- 46- Kraüsel, R., and G., Leschik, 1959, Die Keuperflora von Neuwelt bei Basel. III. Equisetaleen: Schw. Palän.Abhand, v. 77, p. 5-19.
- 47- Lindley, J., and W., Hutton, 1831-1837, The Fossil Flora of Great Britain or Figures and Descriptions of the Vegetable Remains found in a Fossil State in this country. 3 vols. v. 1, 1i+223 pp., pls. 1-79 (1831-1833); vol. 2, xxviii+208 pp., pls. 80-156 (1833-1835); vol. 3, 208 pp. pls. 157-230 (1835-1837). London.
- 48- Lorenz, C., 1964, Die Geologie des Oberen Karadj-Tales (Zentral-Elburz), Iran: Mitt. Geol. Inst. ETH Zürich, N. S., v. 22, 113 p.
- 49- Lundblad, A.B., 1950, Studies in the Rhaeto-Liassic floras of Sweden. I. Pteridophyta, Pteridospermae and Cycadophyta from the Mining District of NW Scania: Kung. Svenska Vetensk Acad. Handl., v. 1 (8), 82 p.
- 50- Mehlqvist, K., V., Vajda, and Larsson, 2009, A Jurassic (Pliensbachian) flora from Bornholm, Denmark- a study of a historic plant

- 72- Schweitzer, H.-J., M., Kirchner, and J.H.A., Van-Konijnenburg-Van Cittert, 2000, The Rhaeto-Jurassic flora of Iran and Afghanistan.
12. Cycadophyta II. Nilssoniales: Palaeontographica B, v. 279 (1-6), p. 1-108, 50 pl.
- 73- Schweitzer, H.-J., and M., Kirchner, 2003, Die rhäto-jurassischen Floren des Iran und Afghanistans 13. Cycadophyta. III. Bennettitales: Palaeontographica B, v. 264 (1-6), p. 1-166.
- 74- Seward, A.C., 1904, The Jurassic Flora. II. Liassic and oolithic floras of England. Catalogue of the Mesozoic plants in the Department of Geology, British Museum, Natural History, 4, xvi + 192 pp., London.
- 75- Sikstel, T.A., 1960, Stratigraphy of the continental deposits of the Upper Permian and the Triassic of Central Asia: Trudy Geol. Nauk., N. S., v. 176, p. 46-140. (In Russian)
- 76- Sternberg, G., 1820-38, Versuch einer geognostisch-botanischen Darstellung der Flora der Vorwelt. Parts 1-8, viii + 509 pp., Leipzig.
- 77- Stöcklin, J., 1961, Lagunäre Formationen Salzdome in Ostiran: Eclogae Geol. Helv., v. 54 (1), p. 1-27.
- 78- Stöcklin, J., J., Eftekhar-Nejad, and A., Hushmand-Zadeh, 1965, Geology of the Shotori Range (Tabas area, East Iran): Geol. Surv. Iran Report, v. 3, p. 1-69.
- 79- Sze, H.C., 1949, Die mesozoischen Flora aus der Hsiangchi Kohlen Serie in West Hupeh: Palaeont. Sinica, (n.s., A), v. 2, p. 1-71.
- 80- Tsao, C.Y., 1965, Fossil plants from the Siaoping Series in Kaoming, Kwantung: Acta Palaeont. Sin., v. 13, p. 510-528. (In Chinese with English abstract)
- 81- Vaez-Javadi, F., 2006, Plant fossil remains from the Rhaetian of Shemshak Formation, Narges-Chal area, Alborz, NE Iran: Rivista Italian. Paleontol.Stratig., v. 112 (3), p. 397-416.
- (translated into persian by Mehdian, M.H.). 21 pp, 3 pls. (unpublished report) Tehran.
- 62- Sadovnikov, G., 1976, The Mesozoic flora of Alborz and central Iran and its stratigraphic importance: National Iran Steel Company of Iran, Tehran, 1-118, 13 pl.
- 63- Saporta, G., 1873, Paléontologie française ou description de fossiles de la France. 2, Végétaux, Plantes Jurassiques. Paris. Vol. 1 (1873), 506 pp., pls. 1-70; Vol. 2 (1875), 352 pp., pls. 71-127.
- 64- Schenk, A., 1865, Mitteilungen an Professor Leonhardt: N. Jb. Miner. Geol. Paläont., v. 308, p. 499.
- 65- Schenk, A., 1867, Die Fossile Plantzen aus der Alburs-Kette: Bibliotheca Botanica, v. 6, p. 1-12, 9 pls.
- 66- Schenk, A., 1883, Pflanzen aus der Steinkohlen Formation. In Richthofen, F. von; China, Ergebnisse eigener Reisen und darauf gegründeter Studien, v. 5 (2), p. 211-269.
- 67- Schenk, A., 1887, Fossile Pflanzen aus der Albours-Kette: Bibliotheca Botanica, v. 6, p. 1-12, 9 pls.
- 68- Schimper, W.P., 1869, Traité de paléontologie végétale. I.J.B. Baillièvre, Paris, iv + 740 pp.
- 69- Schweitzer, H.-J. and M., Kirchner, 1996, Die rhäto-jurassischen Floren des Iran und Afghanistans. 9. Coniferophyta: Palaeontographica B, v. 238 (4-6), p. 77-139.
- 70- Schweitzer, H.-J., J.H.A., van Konijnenburg- van Cittert, and J., van Der Burg, 1997, The Rhaeto-Jurassic flora of Iran and Afghanistan. 10. Bryophyta, Lycophyta, Sphenophyta, Pterophyta-Eusporangiate and Protoleptosporangiate: Palaeontographica B, v. 243, p. 103-192.
- 71- Schweitzer, H.-J., and M., Kirchner, 1998, Die rhäto-jurassischen Floren des Iran und Afghanistans. 11. Pteridospermophyta und Cycadophyta I. Cycadales: Palaeontographica B, v. 248 (1-3), p. 1-85.

- 90- Ward, L.F., 1905, Status of the Mesozoic floras of the United States: Mon. U.S. Geol. Surv., v. 48, 616 p.
- 91- Weber, R., 1968, Die fossile Flora der Rhät-Lias Übergangsschichten von Bayreuth (Oberfranken) unter besonderer Berücksichtigung der Coenologie: Erlanger Geol. Abh., v. 72, p. 1-73.
- 92- Xu, R., J., Zhu, Y., Chen, S., Duan, Y., Hu, and W., Zhu, 1979, Late Triassic Baoding Flora, SW Sichuan, China.130 pp. Beijing. (In Chinese)
- 93- Zeiller, R., 1886, Note sur les empreintes de végétaux recueillies par M. Jourdy au Tonkin: Bull. Soc. Géol. France, s. 3, v. 14, p. 454-463.
- 94- Zeiller, R., 1903, Flore des gîtes de charbon du Tonkin: Étud.Gît.Min. France, 328 p.
- 95- Zeiller, R., 1905, Sur les plantes Rhétiennes de la Perse: Bull. Soc. Géol. France, 4<sup>e</sup> serie, v. 5, p. 190-197.
- 96- Zhou, T.S., 1978, On the Mesozoic Coal-bearing strata and fossil plants from Fujian Province: Prof. Pap. Strat.Paleonto., v. 4, p. 88-134. (In Chinese)
- 97- Zhou, Z., 1989, Late Triassic plants from Shaqiao, Hengyang, Hunan Province: Palaeontologia Cathayana, v. 4, p. 131-197.
- 82- Vaez-Javadi, F., and M., Ghavidel-Syooki, 2002, Plant megafossil remains from Shemshak Formation of Jajarm area, NE Alborz, Iran: Palaeobotanist, v. 51, p. 57-72.
- 83- Vaez-Javadi, F., and A., Pour-Latifi, 2004, Study of Golmakan's plant macrofossils, North-East of Iran: Geosciences, v. 51/52, p. 98-107. (In Persian)
- 84- Vaez-Javadi, F., and M., Mirzaei-Ataabadi, 2006, Jurassic plant macrofossils from the Hojedk Formation, Kerman area, east-central Iran: Alcheringa, v. 30, p. 63-96.
- 85- Van Konijnenburg-Van Cittert, J.H.A., 1993, A review of the Matoniaceae based on in situ spores: Rev. Paleob. Palyn., v. 78, p. 235-267.
- 86- Vassiliev, Y., 1984, Mesozoic plant fossils from coal areas in Iran. V. II. 97 pp. (translated into persian by Mehdian, M.H.): Atlas of the Ministry of Mine and Metal, v. 2(2), 47 pls. Tehran.
- 87- Vozenin-Serra, C., and D., Franceschi, de 1999, Flore du Trias supérieur du Viêtnam (bassins houillers du Quang-Nam et de Hongay: Palaeontographica B, v. 249 (1-6), p. 1-62.
- 88- Vu Khuc et al., 1965, Les fossils caractéristiques du Trias au nord Viêtnam, Haoi.
- 89- Wade-Murphy, J., and J.H.A., van Konijnenburg-van Cittert, 2008, A revision of the Late Triassic Bintan flora from the Riau Archipelago (Indonesia): Scrip.Geol., v. 136, 35 p.



**Fig. 3:** 1, 2, 6, 10- *Equisetites muensteri*; 3, 7- cf. *Todites crenatum*; 4, 11- *Pterophyllum contiguum*; 5, 8, 9, 14- *Nilssonia acuminata*; 12- *Phlebopterus muensteri*; 13- *Scytophyllum persicum*; 15- *Pterophyllum schenki*; 16- *Dictyozamites asseretoi*. Scale bars = 1 cm.



**Fig. 4:** 1- cf. *Weltrichia primaeva*; 2- cf. *Todites crenatum*; 3- *Dictyophyllum exile*; 4- *Elatocladus* sp.; 5- *Carpolithes* sp.; 6- *Phlebopteris polypodioides*; 7- *Neocalamites* cf. *merianii*; 8, 10- *Pterophyllum contiguum*; 9, 11- *Nilssonia undulata*. Scale bars = 1 cm.

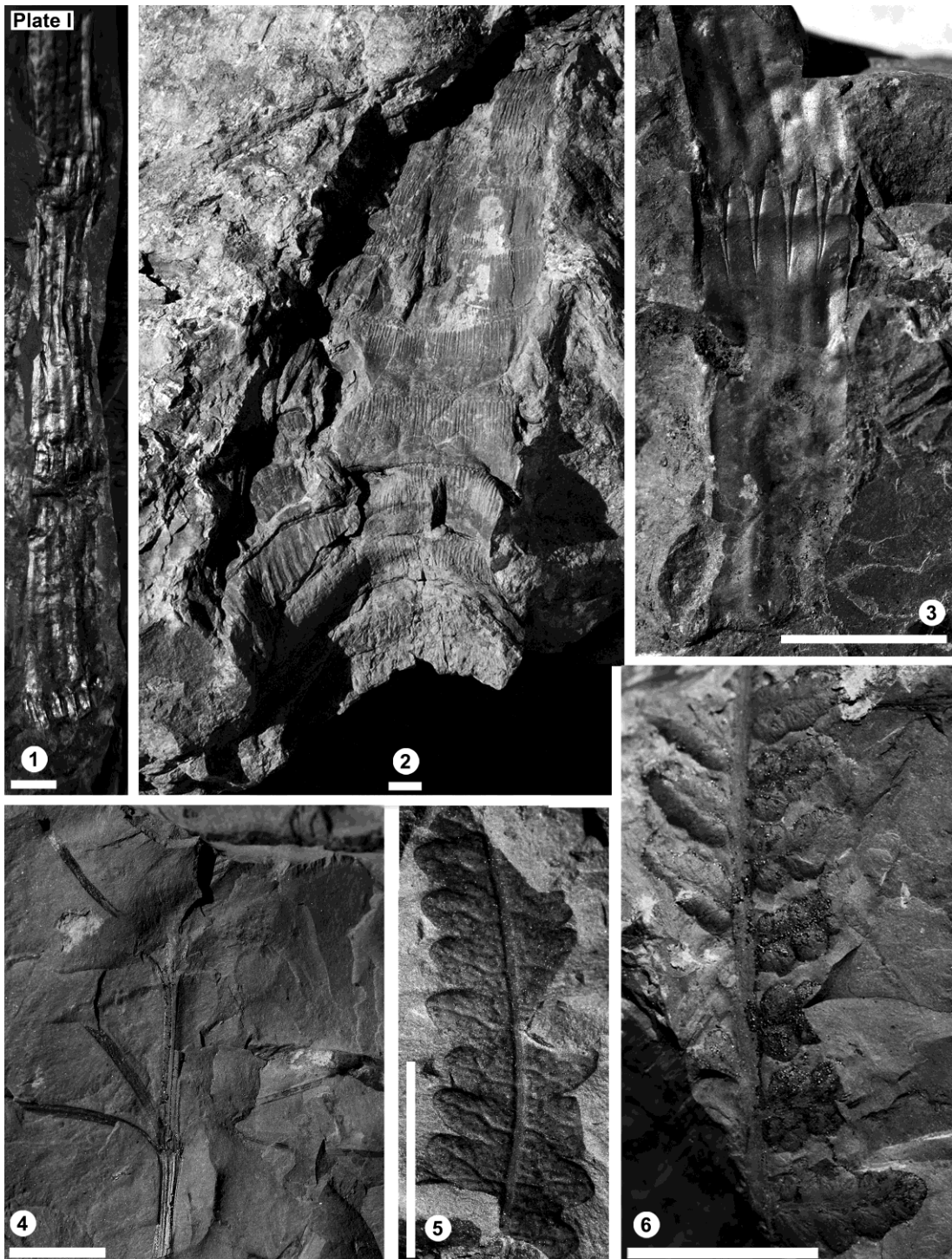


Plate I- Figs. 1, 3- *Equisetites muensteri*- FJPT-1, FJPT-2; Fig. 2- *Equisetites arenaceus*- FJPT-6; Fig. 4- *Neocalamites* cf. *meriani*- FJPT-8; Fig. 5- *Dictyophyllum exile*- FJPT-11; Fig. 6- cf. *Todites crenatum*- FJPT-9. Scale bars = 1 cm.

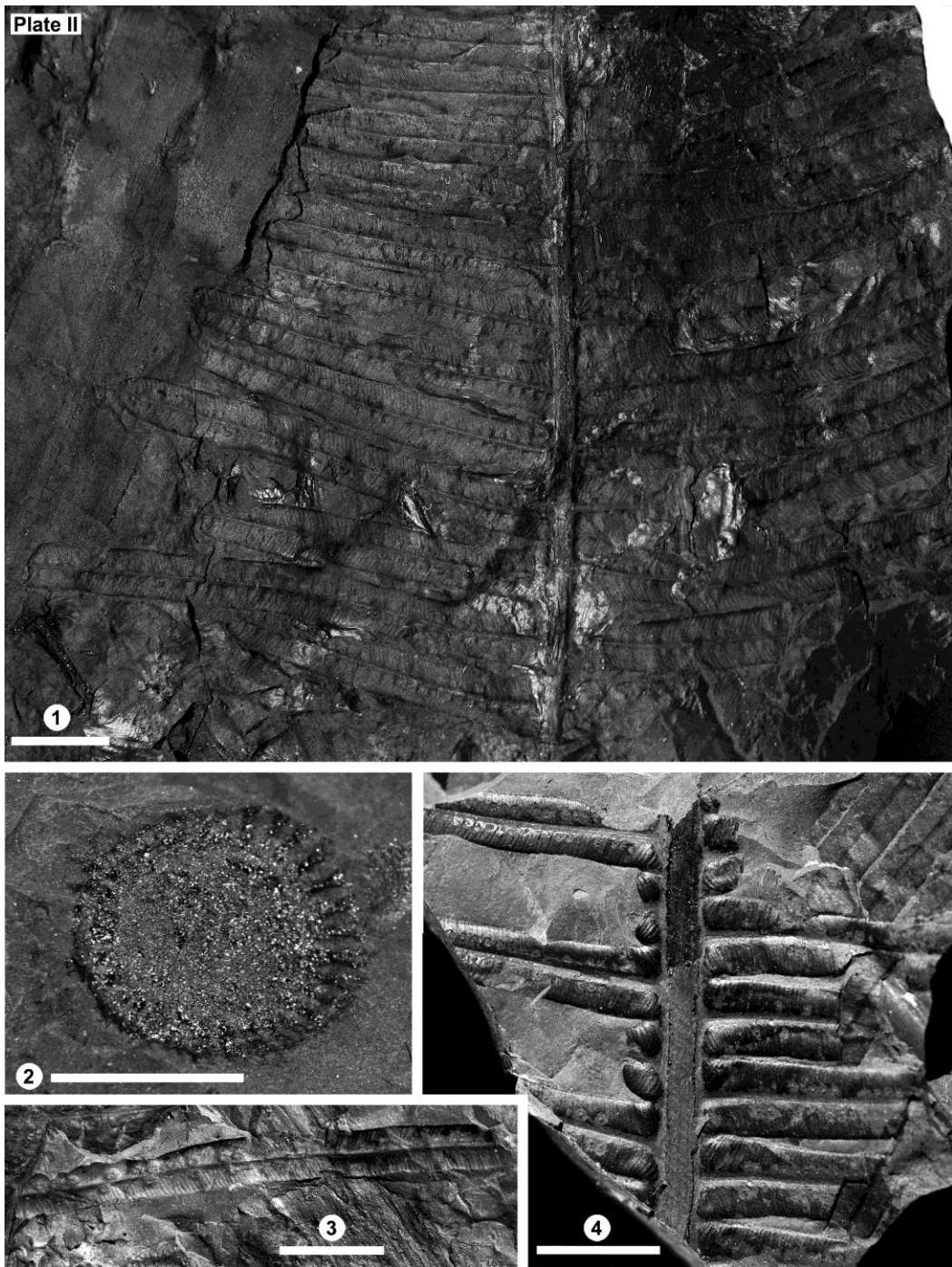


Plate II. Figs. 1, 3- *Phlebopteris polypodioides*- FJPT-14, FJPT-15; Fig. 2- *Equisetites muensteri*- FJPT-5; Fig. 4- *Phlebopteris muensteri*- FJPT-12.

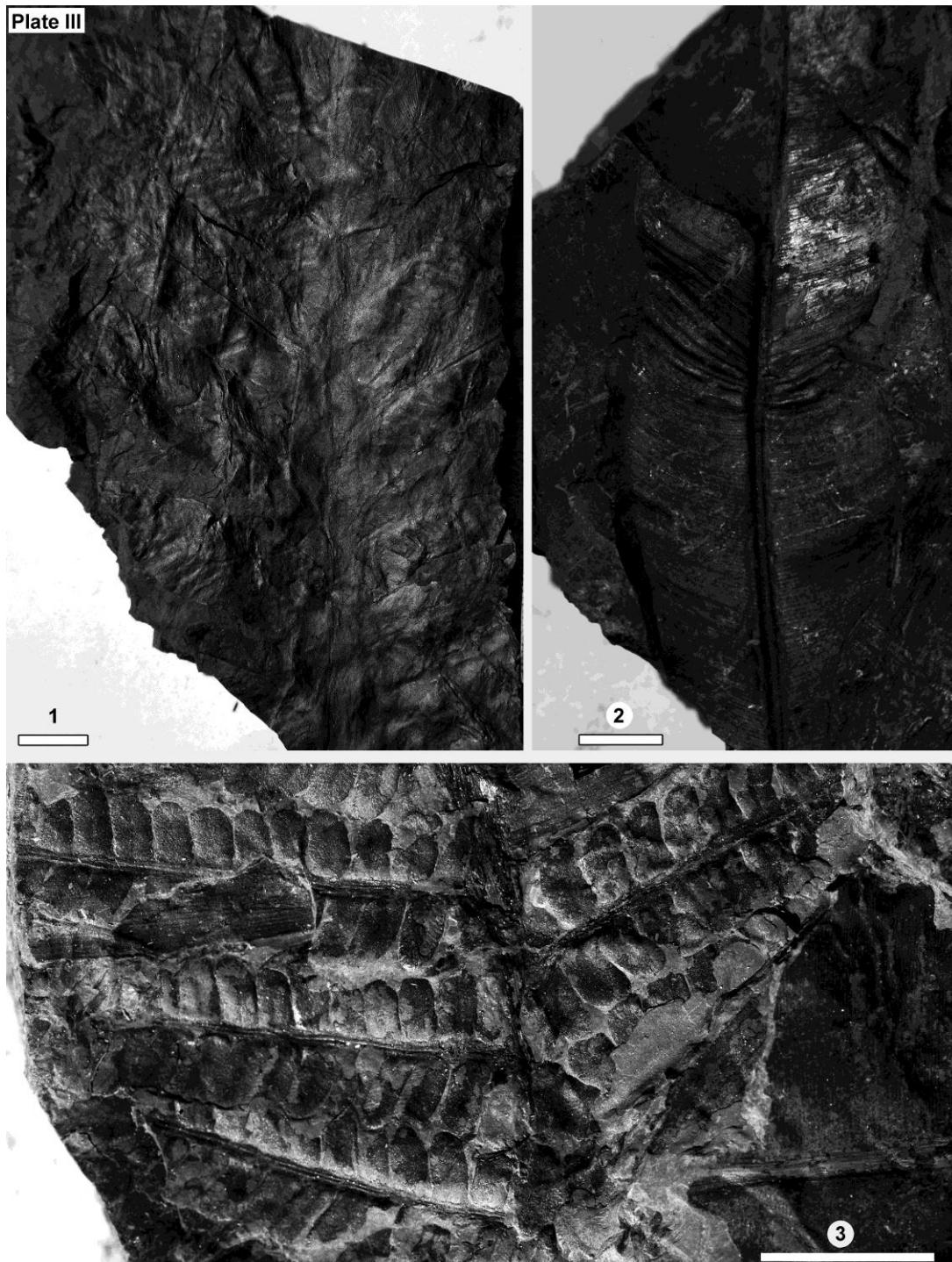


Plate III- Fig. 1- *Scytophyllum persicum*- FJPT-18; Fig. 2- *Nilssonia undulata* - FJPT-50; Fig. 3- *Cladophlebis nebbensis*- FJPT-16.

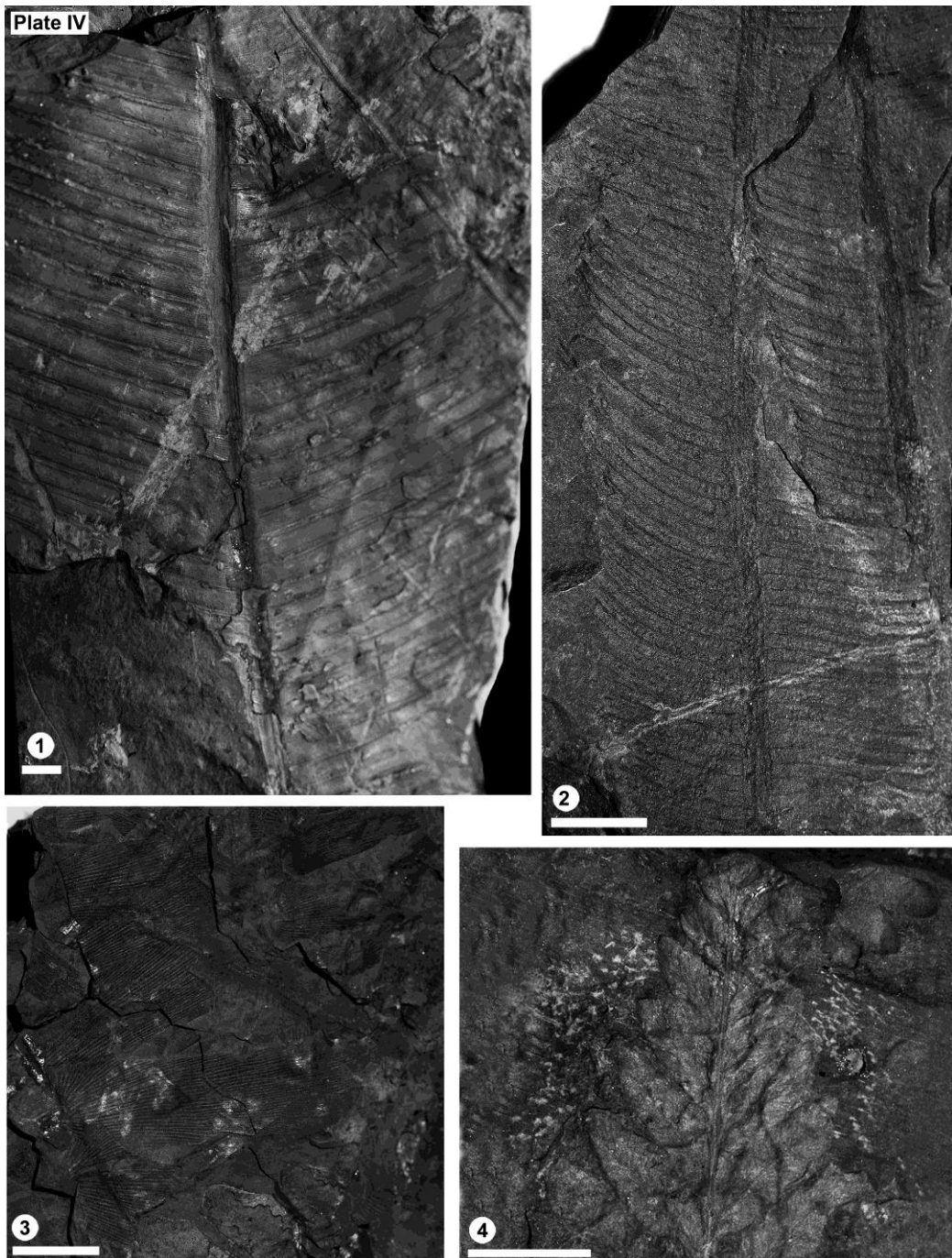


Plate IV- Fig. 1- *Nilssonia cf. pterophylloides*- FJPT-54; Fig. 2- *Pterophyllum bavieri*- FJPT-21; Fig. 3- *Dictyozamites asseretoi*- FJPT-20; Fig. 4- cf. *Todites crenatum*- FJPT-10.

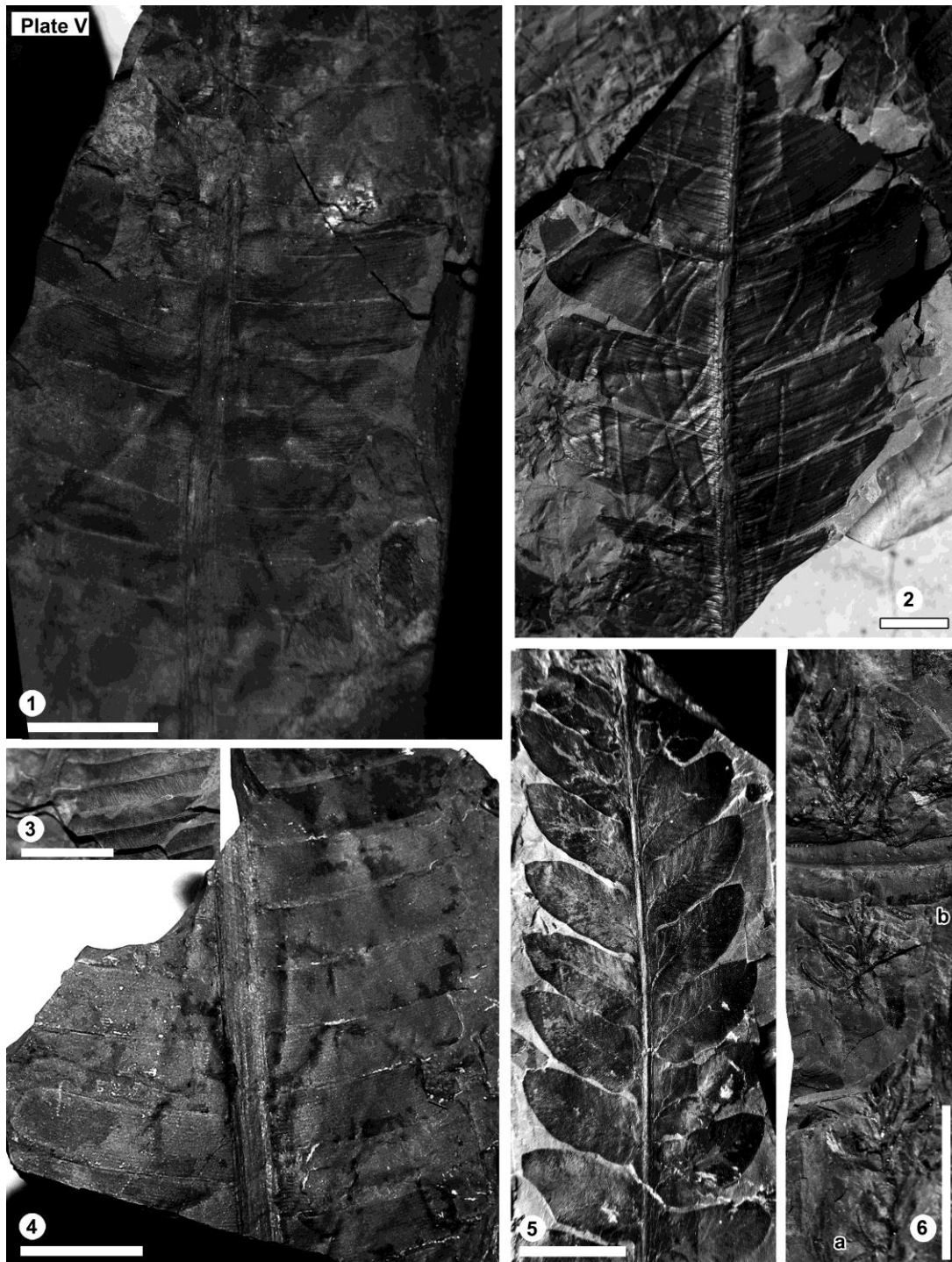


Plate V- Figs. 1, 4- *Pterophyllum contiguum* - FJPT-22, FJPT-23; Fig. 2- *Nilssonia acuminata*- FJPT-44; Fig. 3- *Phleopteris polypodioides*- a pinnule of FJPT-14; Fig. 5- *Cladophlebis* sp.- FJPT-17; Fig. 6a- *Elatocladus* sp.- FJPT-59, Fig. 6b- *Phleopteris muensteri*- FJPT-13.

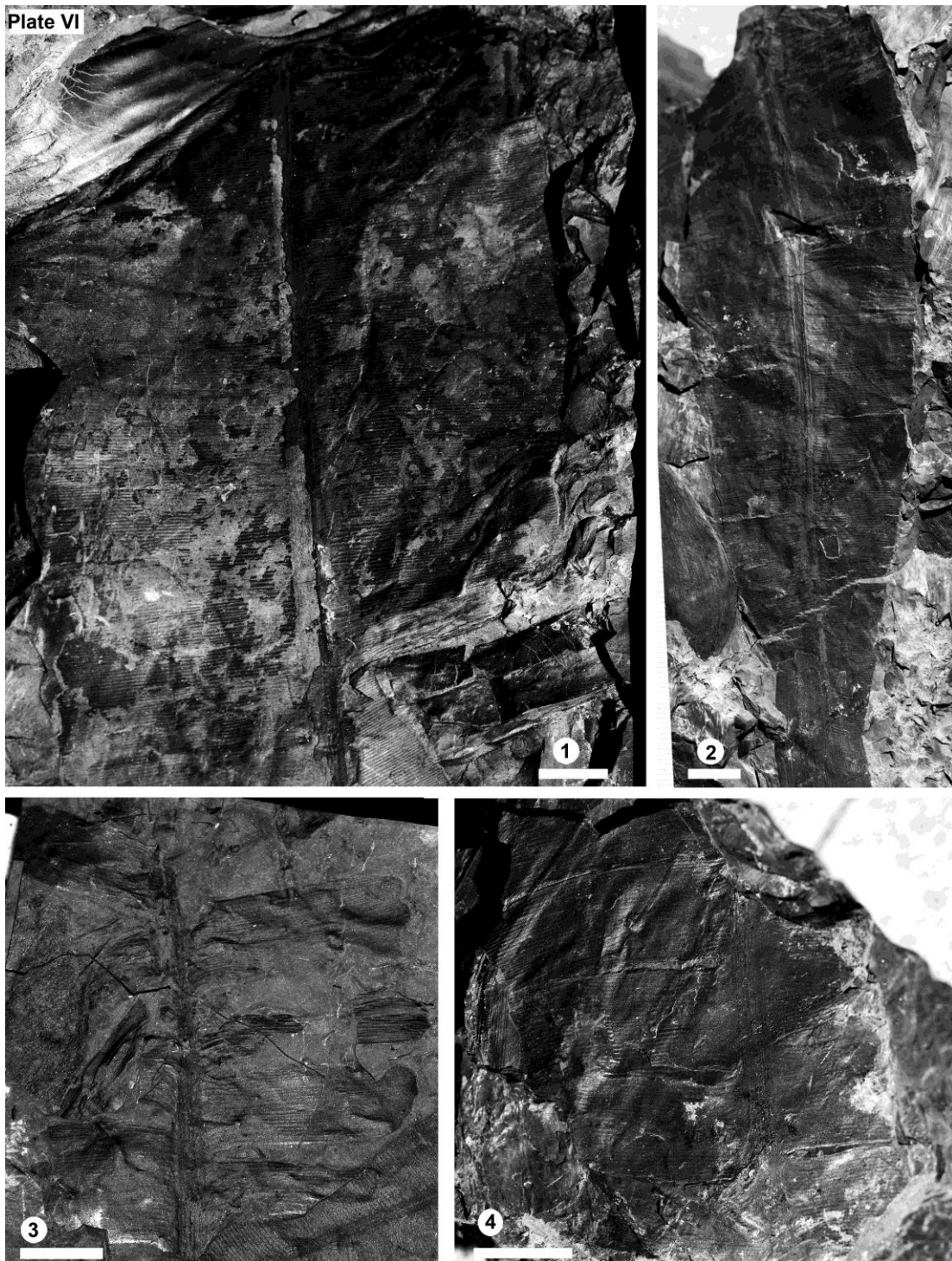


Plate VI- Fig. 1- *Nilssoniopteris musafolia*- FJPT-36; Fig. 2- *Nilssoniopteris schenkiana*- FJPT-38; Fig. 3- *Pterophyllum schenki*- FJPT-28; Fig. 4- *Pterophyllum tietzei*- FJPT-31.

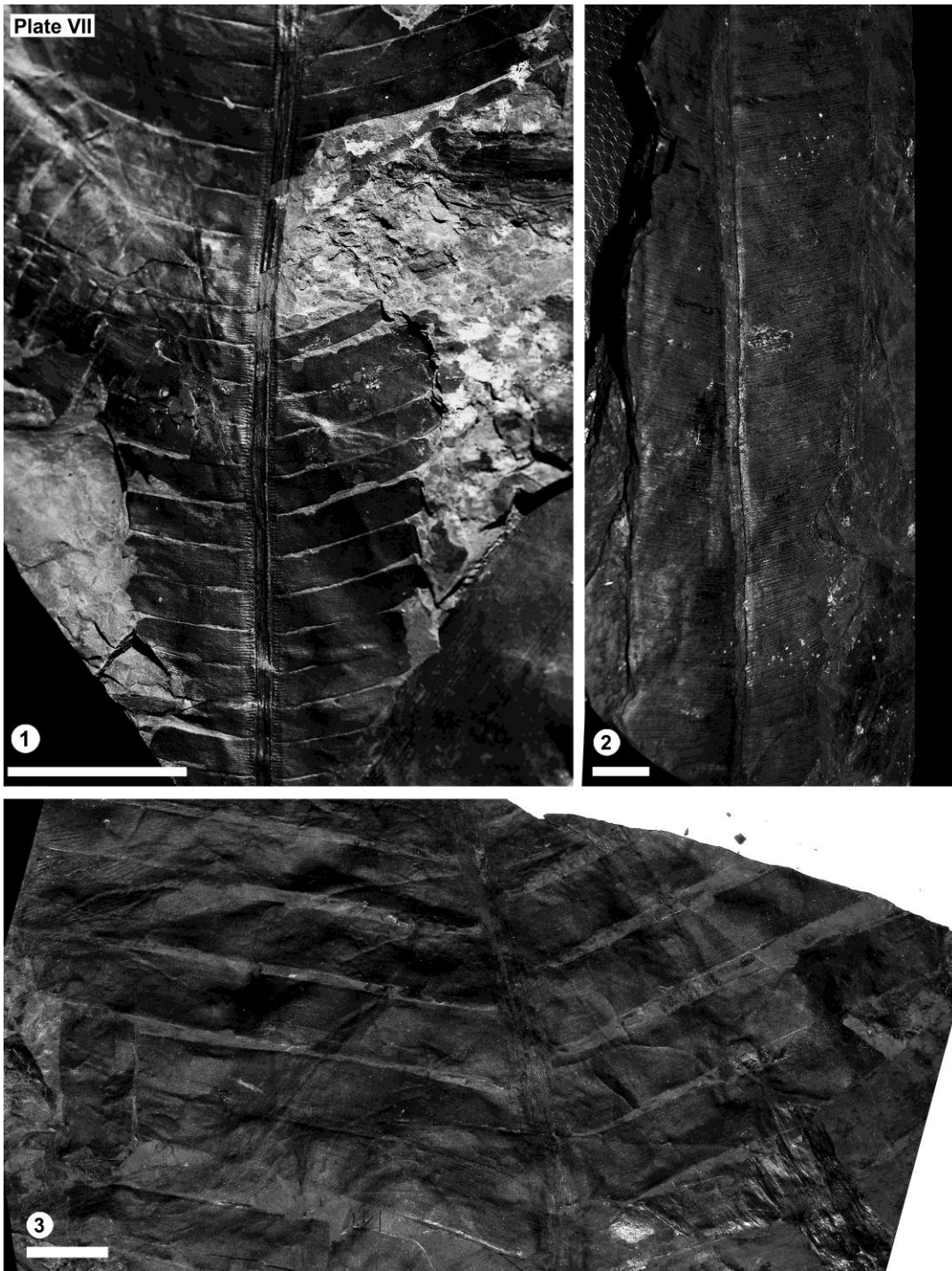


Plate VII- Fig. 1- *Pterophyllum aequale*- FJPT-29; Fig. 2- *Nilssonia undulata*- FJPT-51; Fig. 3- *Pterophyllum tietzei*- FJPT-30.



Plate VIII- Fig. 1- *Nilssonia pseudobrevis* - FJPT-47; Fig. 2- *Carpolithes* sp.- FJPT- 55; Fig. 3- cf. *Weltrichia primaeva* - FJPT-32. Scale bars = 1 cm.